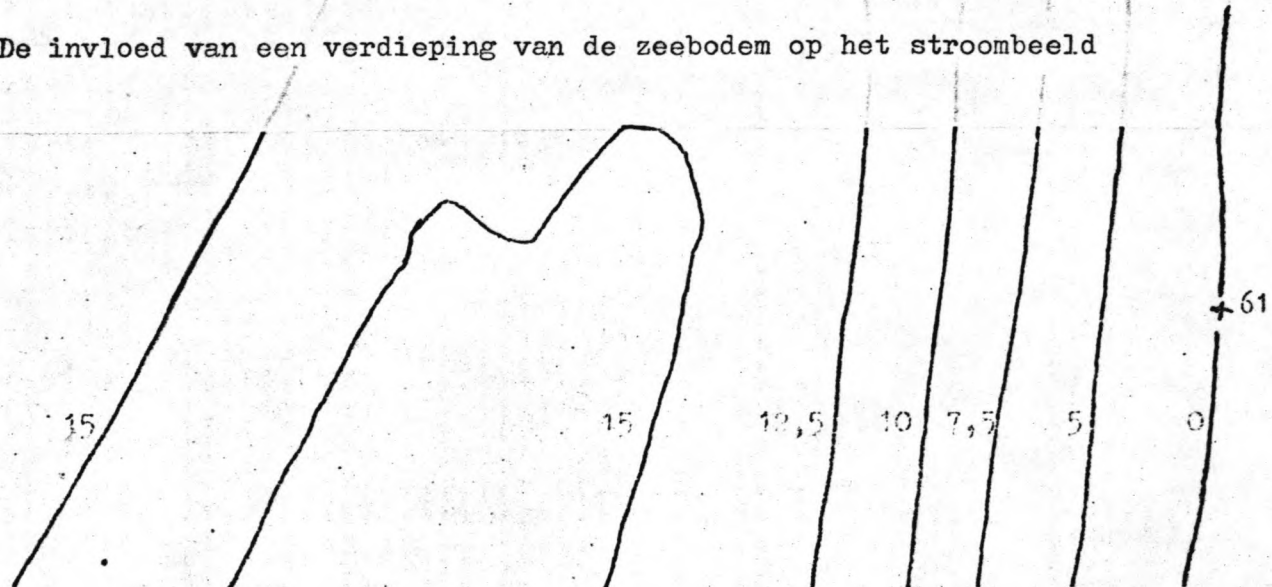




ter hoogte van IJmuiden

De invloed van een verdieping van de zeebodem op het stroombeeld



roel cirkel & paul leene

mei, 1975

opdracht o.p.v. DAP (leidingsteam)

12/1
13/1
14/6/75

Inhoud

	blz
1 Inleiding	1
2 Berekeningswijze	3
2.1 Algemene vergelijkingen	3
2.2 Gebruikelijk vergelijkingen	5
2.3 Systeem TIDES	7
3 Berekening I	9
3.1 Randen v. h. rekenschema	9
3.2 Randvoorwaarden	9
3.3 Stapvoerstuk	11
3.4 Waterdiepten	12
3.5 Uitvoer en controle	13
4 Berekening II	14
4.1 Randen v. h. rekenschema	14
4.2 Randvoorwaarden	15
4.3 Waterdiepten	15
4.4 Stapvoerstuk	16
4.5 Uitvoer	17
4.6 Controle	17
5 Berekening III	20
6 Resultaten	21
6.1 Waterstanden	21
6.2 Snelheden	22
6.3 Debieten	24
6.4 Stroomrichting	25
6.5 Nauwkeurigheid	26
7 Conclusie	28

1 Inleiding

Ons afstudeerontwerp is gericht op de zandwinning in de Noordzee.

Het hoofdontwerp omvat een studie naar de invloed van een verdieping van de zeebodem op de stabiliteit van de kust. Hierbij zijn wij uitgegaan van een verdieping van ~1 m over een oppervlakte van 5 by 5 km in de omgeving van IJmuiden.

De stabiliteit van de kust blijft niet in gevaar te komen, wanneer de landwaartse rand van deze verdieping in 10 m diep water komt te liggen.

By deze beschouwing zijn wij ervan uitgegaan, dat de gedragende stroom evenwijdig aan de kust gericht is met een min of meer aangenomen verband tussen stroom snelheid en diepte en dat bij een verdieping het debiet in een bepaalde strook constant blijft.

In dit deelontwerp willen wij nu de invloed van een dergelijke verdieping op het stroombeeld bekijken om deze uitgangspunten te controleren. Wij doen dat mbv een tweedimensionale gety berekening en wel het TIDES systeem.

Aangesien voor deze berekening geen geschikte randvoorwaarden beschikbaar zijn, maken wij gebruik van de randvoorwaarden, die door JG de Vries voor een getyberekening van een deel van de Noordzee zijn gebruikt. Vandaa�, dat eerst een getyberekening wordt gemaakt van ditzelfde gebied (zie bijlage 1) : berekening I.

Deze berekening levert de randvoorwaarden voor een getyberekening van de omgeving van Utrecht, waar de bovengenoemde verdieping is gepland; berekening II.

Nadat zo in dit gebied de variatie van waterstanden en snelheden gedurend een getypeerde periode berekend zijn, is de berekening ook uitgevoerd voor een plaatselijke verhoogde bodem : berekening III.

Vergelijking van de resultaten van berekening II & III zal dan uitwijzen of er belangrijke wijzigingen in de grootte en richting van de stroomsnelheden (c.q. debieten) te verwachten zijn.

2 Berekeningswijze

2.1 Algemene vergelijkingen

De algemene vergelijkingen voor de voortplanting van lange golven in twee horizontale dimensies leiden als volgt:

2.1.1 Bewegingsvergelijking in x richting:

$$g \frac{\partial h}{\partial x} + \frac{\partial u}{\partial t} + u \frac{\partial u}{\partial x} + v \frac{\partial u}{\partial y} + \frac{f}{D} u \sqrt{u^2 + v^2}$$

$$- \omega v + \frac{W_x}{D} = 0$$

2.1.2 Bewegingsvergelijking in y richting:

$$g \frac{\partial h}{\partial x} + \frac{\partial v}{\partial t} + v \frac{\partial v}{\partial y} + u \frac{\partial v}{\partial x} + \frac{f}{D} u \sqrt{u^2 + v^2}$$

$$+ \omega v + \frac{W_y}{D} = 0$$

2.1.3 Continuiteitsvergelijking:

$$\frac{\partial h}{\partial t} + u \frac{\partial D}{\partial x} + D \frac{\partial u}{\partial x} + v \frac{\partial D}{\partial y} + D \frac{\partial v}{\partial y} = 0$$

2.1.4. Verband tussen enerzijds de waterdiepte en anderzijds de ligging van waterhoogte en bodemdiepte t.o.v. een referentieniveau:

$$D = h - z$$

Hierin gebruikte symbolen:

- g versnelling · zwaartekracht
- h hoogte wateroppervlak tot een referentievlak
- t tijd
- x horizontale coördinaat (in onze berekeningen naar de kust gericht)
- y horizontale coördinaat (in onze berekeningen evenwijdig aan de kust gericht)
- u component van de snelheid in x richting
- v idem in y richting
- f weerstandscoëfficiënt $f = g / C_r^2$
- waarin $C_r = 18 \log \frac{12D}{r}$
- D waterdiepte
- z peil van de bodem tot een referentievlak
- $\omega = \omega' \sin \varphi$ waarin ω' hoeksnelheid aandeel φ breedtegraad.
- W_x, W_y componenten van een opgedrongen kracht, resp in x en y richting; bijv. windkracht.

2.2. Gebruikte vergelijkingen

Voor onze berekeningen hebben wij de in 2.1 gegeven vergelijkingen gebruikt. Hieronder worden nog enige termen van deze vergelijkingen nader toegelicht.

Bij onze berekeningen is geen rekening gehouden met de windkracht, dus $W_x = W_y = 0$.

2.2.1 Wrijvingsterm:

$$\frac{f}{D} u \sqrt{u^2 + v^2} \text{ resp. } \frac{f}{D} v \sqrt{u^2 + v^2}$$

De waarde van de weerstandscoëfficiënt f hangt af van de keuze van de nauwheidsmaat r . Welke waarde voor deze nauwheidsmaat r genomen moet worden in de Noordzee voor de Nederlandse kust is niet goed bekend.

Wij nemen hiervoor de helft van de ribbelhoogte en nemen aan dat deze ribbelhoogte overal gelijk is en wel $= 0.10 \text{ m}$. Dan $r = 0.05 \text{ m}$. De Vries nam bij zijn berekening aan, dat $r = 0.03 \text{ m}$. De resultaten van deze berekening (hoge snelheden) leidden tot de suggestie deze waarde te vergroten tot 0.05 m .

Bi constante waarde van r is de coëfficiënt van Chezy (C_r) en dus ook de weerstandscoëfficiënt f , als functie van de diepte bekend (zie bijlage 283).

2.2.2. Coriolisterm

Bekend is dat, wanneer waterbewegingen over grote horizontale afstanden beschouwd worden, de invloed van de Coriolisversnelling niet verwaarloosd mag worden. Dit blijkt ook uit de berekening van de Vries.

Op de breedte van Nederland geldt voor een rechtsdraaiend assenstelsel:

$$\omega = -2\omega' \sin \phi = -0.11461 \cdot 10^{-3} \text{ s}^{-1}$$

2.3. Het systeem TIDES

Dit systeem is ontwikkeld voor het uitvoeren van twee-dimensionale getijberekeningen.

Het stelsel vergelijkingen, dat de voortplanting van lange golven beschrijft (zie 2.1), wordt opgelost m.b.v. een zgn "alternating direction implicit method".

Dit betekent, dat om bewerken nieuwe waarden van h en u en van h en v berekend worden mbv een impliciete berekening in x - resp y -richting. Per tijdstap worden de u - en v -waarden dan eenmaal en de h -waarden tweemaal berekend. De tweede berekende h -waarde wordt uitgewerkt.

Bij de discretisering wordt een in de ruimte en tijd verspronken schema gehanteerd.

Zie bijlage 4 Er geldt:

$$H(i,j) = h(i \cdot s_x, j \cdot s_y, t)$$

$$f_r(i,j) = f(i \cdot s_x, j \cdot s_y)$$

$$U(i,j) = u((i + \frac{1}{2})s_x, j \cdot s_y, t - \frac{1}{2}\tau)$$

$$V(i,j) = v(i \cdot s_x, (j + \frac{1}{2})s_y, t)$$

$$Z(i,j) = z((i + \frac{1}{2})s_x, (j + \frac{1}{2})s_y)$$

$$H'(i,j) = h(i \cdot s_x, j \cdot s_y, t + \frac{1}{2}\tau)$$

$$U'(i,j) = u((i + \frac{1}{2})s_x, j \cdot s_y, t + \frac{1}{2}\tau)$$

Gegevens, die nodig zijn voor het uitvoeren van een actijk berekening m.b.t. TTDES zijn:
dieptecijfers, wrûgingscoëfficiënten,
vorm en grootte van het reken netwerk,
rand voorwaarden en begin voorwaarden.

Als begin waarde is steeds gesteld: alle waarden (u , v en h) = 0

Omdat dit in het algemeen niet met de realiteit, ten tijde $t=0$, overeenkomt, is een inslagerijd nodig.

De berekening is "ingeslingerd" indien de berekende grootheden op een bepaald tijdstip $t=t_1$ niet meer verschillen van die ten tijde $t=t_1+T$. daar de actijkromme een periodieke functie is met periode T .

Zie voor dit inslager verschijnsel, bijlage 5.
Hierop is de berekening van de actijkromme te Umeiden weergegeven. Zelfs bij de hier getekende grootte van de tijdstap is de inslagerijd hier $3/4 T$.

3 Berekening I

Het doel van deze berekening is het bepalen van de rand voorwaarden voor berekening II, dus het berekenen van de variatie in de waterhoogten aan de rand van het schema van berekening II.

- 3.1 De randen van het schema zijn zo gekozen, dat deze overeenkomen met die, gebruikt door de Vries i.v.m. het ontlenen van de randvoorwaarden aan deze berekening.

3.2 Rand voorwaarden.

Deze zijn door de Vries bepaald in de punten aangegeven op bijlage 6.

Uitgegaan werd van de gemiddelde actijkrommen bij Den Helder, IJmuiden en Hoede van Holland (bijlagen 7 t/m 9).

Hierop is een Fourier analyse toegepast. Voor de hierboven genoemde punten werden de actiekrommen als volgt afgeleid.

M.b.v. de iso amplitude lijnen (ontleend aan de reductiekaart van de Noordzee) werd de amplitude verhouding bepaald tussen de boven genoemde punten en het punt aan de kust, waar de actijkromme bekend is (voor zover gelegen op dezelfde iso fase lijn).

Aangenomen, dat op de iso faselijnen alle componenten dezelfde fase hebben, werden alle actieconstanten met deze verhouding vermenigvuldigd (zie bijlage 1).

Daar de onderrand van het reken schema niet samenvalt met de iso faselijn van Hoek van Holland (bijlage 6) werden hier de constanten eerst bepaald voor die punten op de iso faselijn, die op de zelfde stroomlijnen (geschat) liggen zùm als de randpunten.

De omrekening van de constanten van een punt op de iso faselijn naar de rand werd uitgevoerd met de volgende vergelijkingen

$$a'_n = a_n \cos \phi + b_n \sin \phi$$

$$b'_n = -a_n \sin \phi + b_n \cos \phi$$

n index Fourier comp.

hierin zùm : a_n, b_n actieconstanten op isolaselijs

a'_n, b'_n " " " op de rand

$$\phi = 2\pi l/L \text{ faseverschil}$$

l afstand isolaselijs tot randpunt

L lengte actiégolf $\sim 750 \text{ km}$

Zie voor berekening bijlage 10.

Voor alle tussenliggende punten op de rand, wordt de waarde voor de waterstand verkregen door lineaire interpolatie.

3.3 Stappgrootte in ruimte en tijd.

Rekening houdend met de plaats van de punten, waar de randvoorwaarden gegeven zijn, is voor de stappgrootte in de ruimte in x en y richting gekozen voor $s_x = s_y = 2500\text{m}$ (zie bijlage 6). Dit betekent dat ~ 1150 punten moeten worden doorgerekend.

Voor de tijdstappgrootte is gekozen: $\Delta t = 1788\text{s}$ (d.i. ongeveer een half uur). Voor deze stappgrootte is gekozen om de kosten van de berekening laag te houden (deze kosten bedragen bij ~ 1000 ruimtepunten fl 1.- per tijdstop). Bovendien is voor het berekenen van het verloop van de waterstanden (het doel van deze berekening) een niet al te grote nauwkeurigheid voldoende..

Neem een gemiddelde diepte = 25 m dan is de voortplantingssnelheid van de golf (c) $\sim 15 \text{ m/s}$.

$$\rightarrow \frac{c \Delta t}{s_x} \sim 11$$

3.4 Waterdiepten

De waterdiepten hebben wij ontleend aan een zeekaart voor de Nederlandse kust tussen Den Helder en Hoek van Holland.

Een nadelen van deze kaart is, dat alleen de ondiepten (belangrijk voor de scheepvaart) hierop vermeld staan. Plaatselijke diepe plekken en gaten (belangrijk voor de actieve beweging) zijn niet aangegeven. Deze moeilijkheid hebben wij afgrocht te ondergaan door de diepte 10% groter aan te nemen.

Ditte 10% is afkomstig uit een vergelijking met een overzichtskaart van het zeegebied IJmuiden.

Op de zeekaart zijn de diepten in meters tov. LL.W.S. aangegeven. Bijlage II geeft de diepten tov. NAP weer, zoals die zijn ingevoerd. De nauwkeurigheid van deze dieptecijfers zal niet groter zijn dan 1 m.

Ditte nauwkeurigheid zal voldoende zijn voor het berekenen van het verloop van de waterstanden

3.5 Uitvoer en controle

Via de regelbladwijzer hebben wij de resultaten van de berekening van de tweede doorgetrokken periode (ivm inslingerfijd) om de twee tijdstappen (3576 s) laten uitvoeren.

Dit uitvoer omvat voor alle punten per tijdstap de waterstand en de snelheidscomponent in x- (u) en in y-richting (v).

Ter illustratie is de berekende getijkromme van Vlissingen weergegeven op bijlage 8. Deze vertoont een grote overeenkomst met de gemiddelde getijkromme (benadering met Fourierreeks!).

De waterstanden in de raad voor waardenpunten van Berekening II (zoals berekend tijdens de tweede doorgetrokken periode) zijn per tijdstap weergezet op een achtergrond geheugen, zodat deze bij berekening II direct opgeroepen konden worden.

De berekende maximale stroomsnelheden voor de kust van Scheveningen, in 22 m diep water, zijn van de orde van grootte van 0.7 m/s. Dit komt overeen met geextra poleerde waarden uit metingen (bijlage 15).

4 Berekening II

Dit is een actueel berekening van het zeegebied IJmuiden, zoals aangegeven op bijlage 12.

4.1 Randen

De volgende overwegingen hebben meegespeeld bij het bepalen van de randen.

De plaats van de verdieping, die in een volgende berekening wordt aangebracht, dient dicht bij de haven van IJmuiden gekozen te worden i.v.m. het doel van deze verdieping (zandwinning), doch buiten de directe invloed van de haven-dammen omwille van de deidelijkheid.

De randen dienen nu zo gekozen te worden, dat een verstoring van het stroombeeld door het aanbrengen van deze verdieping binnen deze randen blijft. Wij hebben aangenomen, dat de afstand tussen de randen en deze verdieping ongeveer gelijk moet zijn aan de afmetingen van deze verdieping (5×5 km).

Een andere overweging, van meer praktische aard, was de beschikbaarheid van een kaart van dit gebied: Overzicht zeegebied IJmuiden RWS Studiedienst IJmuiden.

4.2 Rand voorwaarden

Als rand voorwaarden worden de waterstanden genomen, die m.b.v. Berekening I in de randen zijn berekend.

Dat als rand voorwaarden de waterstanden worden genomen, vindt zijn oorzaak hierin, dat het aanbrengen van een verdieping geen grote invloed op het verloop van de waterstand zal hebben.

Dit is van belang, wanneer de verstoring van het stroombeeld t.g.v. een verdieping zich tot de randen uitstrekkt.

De opzet van het rechenschema voor deze berekening is zo gekozen, dat om de 5 punten de rand voorwaarden gegeven zijn; de waterstanden in de 4 tussenliggende randpunten worden door lineaire interpolatie bepaald.

(zie 4.4)

4.3 Waterdiepten

De waterdiepten voor dit gebied (zie bijlage 13) zijn ontleend aan een overzichtskaart van het zeegebied Utrecht (schaal 1:25000); hierop zijn de waterdiepten in dm's t.o.v. NAP aangegeven.

De nauwkeurigheid van de diepte cijfers is in de orde van grootte van enige dm's.

4.4 Stapschoot in ruimte en tijd.

I.v.m. de grootte van de dan te brengen verdieping en de aansturing aan het schema van berekening I is voor de stapschoot in ruimte in x- en y-richting gekozen voor $s_x = s_y = 500 \text{ m}$.

Voor de stapschoot in de tijd is in eerste instantie weer gekozen voor $\Delta t = 1788 \text{ s}$.

By beschouwing van de resultaten van deze berekening bleek dat de stroming rond de dammen bij Utrecht bij deze grote tijdsstappen niet goed weergegeven werd: de stroomblijnen boog niet om de dammen heen. Er ontstond een langgerekt schaduwgebied naast de pieren, met aarmerende snelheden (zie bijlage 14). Met een vier maal zo kleine stapschoot $\Delta t = 447 \text{ s}$ (di $\approx 8 \text{ minuten}$) werden betere resultaten bereikt (zie ook 4.6).

Neem een gemiddelde diepte = 15 m, dan is de voortplantingsnelheid van de golfgolf (c) $\approx 12 \text{ m/s}$.

By $\Delta t = 1788 \text{ s}$ is $\frac{c \Delta t}{s_x} \approx 43$

$\Delta t = 447 \text{ s}$ $\frac{s_x}{\Delta t} \approx 11$ dit komt

overeen met de bij berekening I gebruikte verhouding.

4.5 Uitvoer

Bij deze berekening werd i.v.m. de kosten na een inslager tijd van een halve periode al uitvoer gegeven. De uitkomsten van de berekening na een halve periode kwamen overeen met die van een periode later.

De resultaten van de berekening werden om de 8 tijdstappen (di ~ 1 uur) uitgewerkt.

Dit uitoef omvat voor alle punten per tijdstap de waterstand en de snelheidscomponent in x-(u) en in y-richting (v).

4.6 Controle

Ter controle van de berekening is gekeken of de orde van grootte van de snelheid in overeenstemming is met die van gemeten waarden.

Dit is gedaan door het verband tussen de maximale stroom snelheid als functie van de diepte, bepaald uit metingen voor de kust van Scheveningen, te extrapoleren (de metingen werden uitgevoerd tot een diepte van 12.5 m) en dit te vergelijken met de daar ons berekende waarden (zie bijlage 15).

Bijlage 16 geeft het verloop van de snelheid voor een punt midden in het gebied (20,23) weer.

De snelheden zijn mogelijk iets aan de lage kant (zie bijlage 15), maar dit is, daar het om een vergelijking met de resultaten van Berekening III gaat, geen bezwaar.

Bi beschouwing van de resultaten van de berekening is het verband tussen maximale snelheid en diepte bij diepten minder dan 13 m, minder duidelijk te zien. De indruk bestaat, dat hier de snelheden in vergelijking tot de gemeten waarden te laag zijn ($\approx 15\%$). Mogelijk dient in dit gebied een lagere ribbelhoogte te worden aangenomen.

Het stroombeeld rond de havendammen van IJmuiden (zie bijlage 17 & 18) voldoet aan de verwachtingen, hoewel de schematisatie (zie bijlage 18) hier moeilijk is (kombering is buiten beschouwing gebleven).

Op deze bijlagen is ook de invloed van de dammen op het stroombeeld t.p.v. de aan te brengen verdieping te zien.

Ter controle van de computer berekening, zijn de lange-golf vergelijkingen "met de hand" voor enkele punten naargerekend.

De benodigde waarden voor de afgeleiden van h , u , v , naar x , y en z zijn ontleend aan de door de computer berekende waarden van h , u en v bij invulling in de vergelijkingen. Blijken deze niet te kloppen, daar de afrondingsfout van de door de computer uitgevoerde waarden hiervoor te groot is (uitvoer in cm's).

Vooral die termen die bestaan uit het product van een relatief groot getal (D, g) en een relatief kleine afgeleide, dragen sterk bij tot de onnauwkeurigheid.

Op bijlage 19 820 zijn de resultaten van een dergelijke berekening te zien. De restanten van de diverse vergelijkingen zijn van dezelfde orde van grootte als de onnauwkeurigheid van de samenstellende termen. Hoogstens kan hieruit worden geconcludeerd, dat de berekening niet circulairbaar fout is.

5 Berekening III

Deze berekening is gelijk aan Berekening II, afgezien van het feit dat nu de bodem plaatselijk verdiept is (wijzigingen in dieptecijfers en weerstandscoefficiënten)

De verdieping van de bodem is zo aangebracht dat een min of meer gelijkmatige laag is verwijderd, waarbij grote bodem onregelmatigheden echter wel zijn opgepakt. De gemiddelde bodemverdieping bedraagt ongeveer 1.4 m, zodat ongeveer $35 \cdot 10^6 \text{ m}^3$ bodem materiaal verwijderd is.

Op bladzijde 21 en 22 zijn de dwarsprofielen van enige trajecten met en zonder verdieping weergegeven. De dwarsprofielen van de trajecten op de rand van de verdieping laten een kleinere verdieping zien; dit is inherent aan het numerieke model.

6 Resultaten

We zullen de resultaten van berekening II en III bekijken met betrekking tot
de waterstanden
snelheden
debieten

Dit wordt gedaan in de reien 18, 22, 24,
28 en 34 bij max. stroom snelheden.
Zie voor dwars profielen van deze reien
bijlage 22 & 21.

6.1 Waterstanden

Uit een vergelijking van de waterstanden t.o.v.
NAP, volgens berekening II en III, blijkt dat
deze ongewijzigd zijn gebleven, behoudens
in enkele incidentele punten, waar zich
afwijkingen tot grootte van 1 cm voordoen.

(de uithes wordt in cm's gegeven)

T.o.v. de totale waterdiepte (10 à 15m) zijn
de geconstateerde afwijkingen verwaarloos-
baar.

6.2 Snelheden

Van de snelheden zijn, in de eerder genoemde raien, de componenten in y richting (v_y) met elkaar vergelijken (zie bijlage 23 & 24). Aan de snelheidsverschillen (Δv) op enige afstand van de verdieping behoeft geen aandacht te worden geschenken: deze afwijkingen liggen binnen de nauwkeurigheid, waarmee het verschil van de snelheden, bepaald kan worden.

Uit de beschouwing van raai 34, deze is gelegen halverwege de onderrand van de verdieping ende onderrand van het reekenschema, volgt, dat er benedenstrooms en bovenstrooms van de verdieping een kleine snelheidstoename aanwezig is.

T.p.v. de verdieping, raien 22 & 24, blijkt een snelheidstoename op te treden.

Ook blijft er over de bovenstroomse rand (bijlage 23: rai 18 & bijlage 24: rai 28) een (piekuormige) snelheidstoename aanwezig te zijn, terwijl in dezelfde rai naast de verdieping een afname te zien is.

Over de benedenstroomse rand treedt een tegengesteld verschijnsel, in geringere mate op.

Uit de figuren blijkt ook dat het stroombeeld zeewaarts van de verdieping tot een afstand van 2 à 3 km van de verdieping verstoord is.

Langs de kust doen zich tijdens de vloedstroom snelheidsverlagingen voor. Tijdens de ebstroom doch zich echter hier benedenstroms van de verdieping snelheidsverhogingen voor (raai 28234). Dit is mogelijk te wijten aan de invloed van de havendammen op het stroombeeld.

De boven genoemde snelheidsveranderingen zijn van een orde grootte van 1 à 2 cm/s, met uitzondering van die in de verdieping: deze zijn gemiddeld ongeveer 3 à 4 cm/s, met maxima tot 6 cm/s.

De relatieve snelheidsveranderingen zijn langs de kust maximaal, doch niet erg groot. ($\approx 4\%$)

6.3. Debieten

De debieten tijdens eb- en vloedstroom zijn voor de beschouwde rekenen weergegeven op de bladlagen 25 & 26.

Hieruit blijkt het debiet tijdens de ebstroom te verlopen van ≈ 8 tot $10 \text{ m}^3/\text{sm}^1$, tijdens de vloedstroom van ≈ 10 tot $12 \text{ m}^3/\text{sm}^1$ voor afstanden tot de kust van 3 tot 14 km.

T.a.v. de debieten in de verdieping valt een toename te constateren (zie bijlage 28 & 27), evenals boven- en benedenstroms van de verdieping (hier evenredig met toename snelheid!). Deze toename was te verwachten, daar een diepere geul, ivm. de geringere weerstand, meer water trekt.

Deze verstoreng van het stroombeeld strekt zich uit tot buiten de randen van het gekozen reken schema. De invloed op de waterstanden is echter gering, zodat deze randen voor dit verschijnsel nauwelijks een belemmering zullen vormen.

6.4 Stroomrichting

T.a.v de richtingsverandering van de stroom (zie bijlage 29 & 30), valt op te merken dat bij de ebstroom, de stroomrichting meer naar de kust gericht is.

Dit komt overeen met de stijfheids toename vlak bij de kust zoals hierboven vermeld (zie ook bijlage 23).

Beschouwen we de zeevaartse rand van de verdieping (raai 15), dan laten de stroomlijnen een insnoering zien: bovenstroms is een richtingsverandering naar de verdieping toe, benedenstroms is een verandering van de verdieping af te zien.

6.5 Nauwkeurigheid

De juistheid van de berekende groottenhangt af van de invoer gegevens en de discretisering.

6.5.1 Nauwkeurigheid van de invoer gegevens

Zoals hierboven al vermeld, dient bij de waterdiepten, die in Berekening I zijn ingevoerd, rekening te worden gehouden met een onnauwkeurigheid van meer dan 1 m (5 à 10 %); bij die van Berekening II van enige duiz (1 à 2 %). De grootte van de gebruikte wrijvingscoëfficiënt f berust, zoals eerder al opgemerkt (blz 5), op een aanname.

Over de nauwkeurigheid van de gebruikte rand voorwaarden valt het moeilijk iets te zeggen.

6.5.2 Onnauwkeurigheid t.a.v. discretisering

De invloed van de grootte van de hydraulische radius in het voorstaande besproken.

De ideale grootte van de parameter $c \frac{\Delta t}{\Delta x}$ dient nog te worden onderzocht.

6.5.3 Afrondingsfout uitvoer

By onze berekeningen zijn (ivm de nauwkeurigheid van de ingevoerde gegevens) de berekende waarden voor h , u en v in cm's uitgevoerd.

De snelheidsverschillen t.o.v. een verdieping zijn van dezelfde orde grootte als deze afrondingsfout.

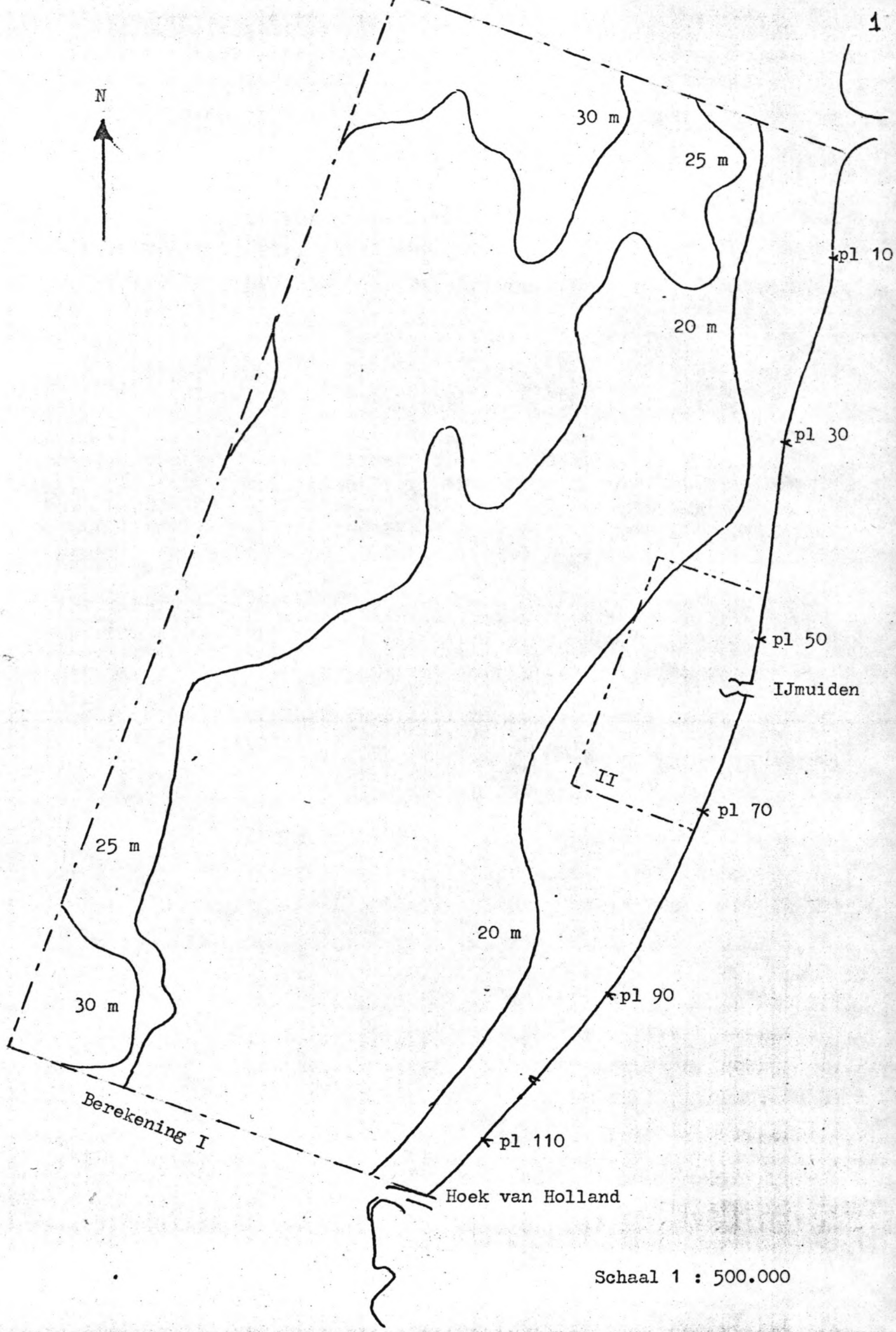
Een grotere nauwkeurigheid is wel gewenst i.v.m het maken van een controleberekening "met de hand".

Boven genoemde onnauwkeurigheden maken het moeilijk de werkelijkheid te benaderen (dit is moeilijk te controleren!)

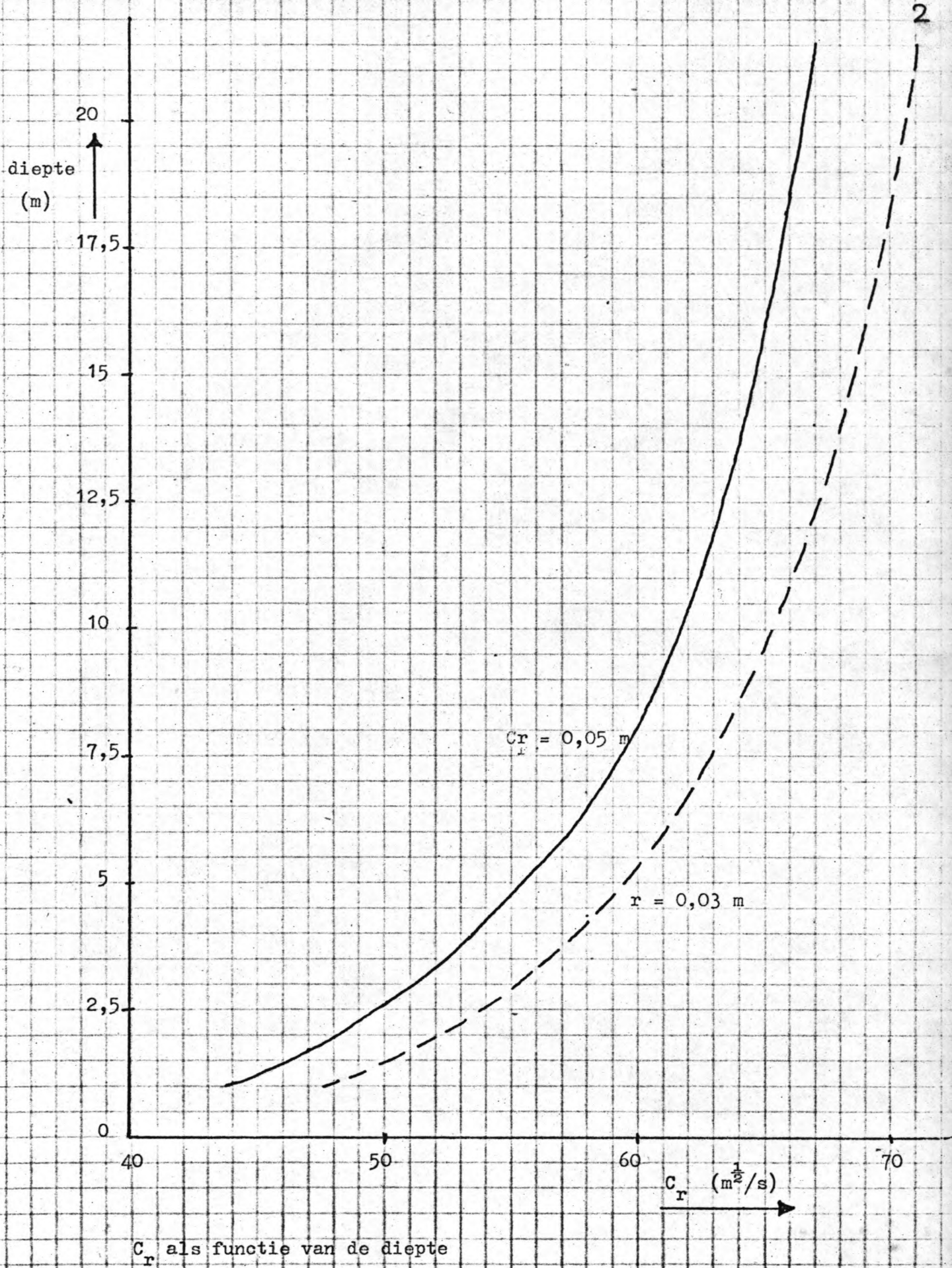
Het is echter wel mogelijk de invloed van een (niet te kleine) verdieping weer te geven.

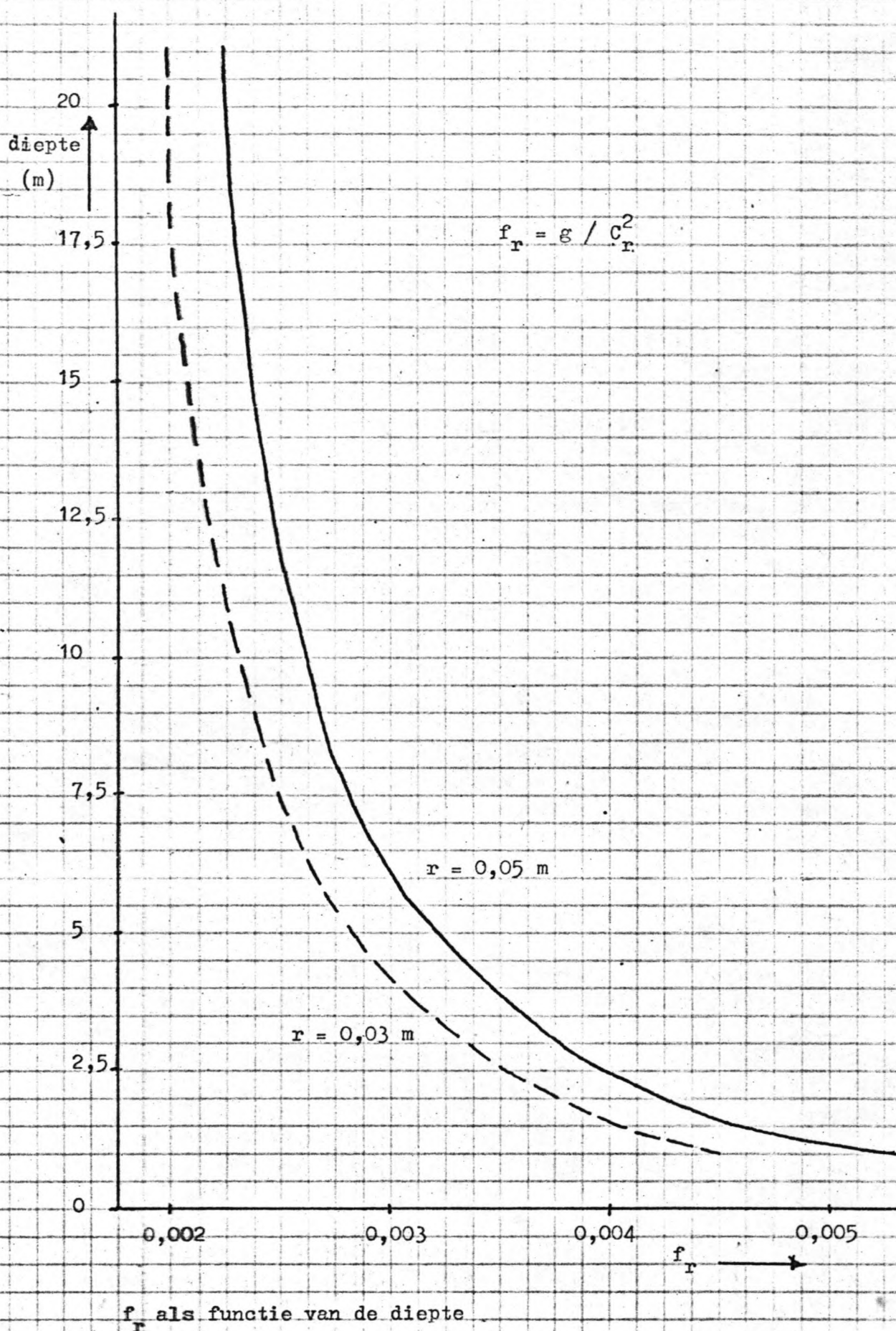
7 Conclusie

- 1 In de verdieping treedt een snelheidsverlaging op.
Bij aanname, dat het debiet constant blijft,
volgt dan uit: $v_1 h_1 = v_2 h_2 = q = \text{constant}$
 $h_2 = h_1 + \text{verdieping}$
 - 2 Het debiet door de verdieping is toegenomen.
t.v. geringere weerstand t.p.v. verdieping.
 - 3 T.v. de verdieping buigt de ebstromen sterker
naar de kust toe en de vloedstromen sterker
van de kust af bij de havendammen van IJmuiden.
 - 4 De onnauwkeurigheid van de gebruikte gegevens
maakt het niet zinvol om de uitvoer in meer dan 2
decimalen te geven. In dit geval is dat echter
wel gewenst. Het is dus noodig een betere
kennis omtrek in te voeren gegevens en
schematisatie van het netwerk te verkrijgen.
 - 5 In dit geval zijn de veranderingen in snelheid,
en dus ook die van het zandtransport klein.
- / ?

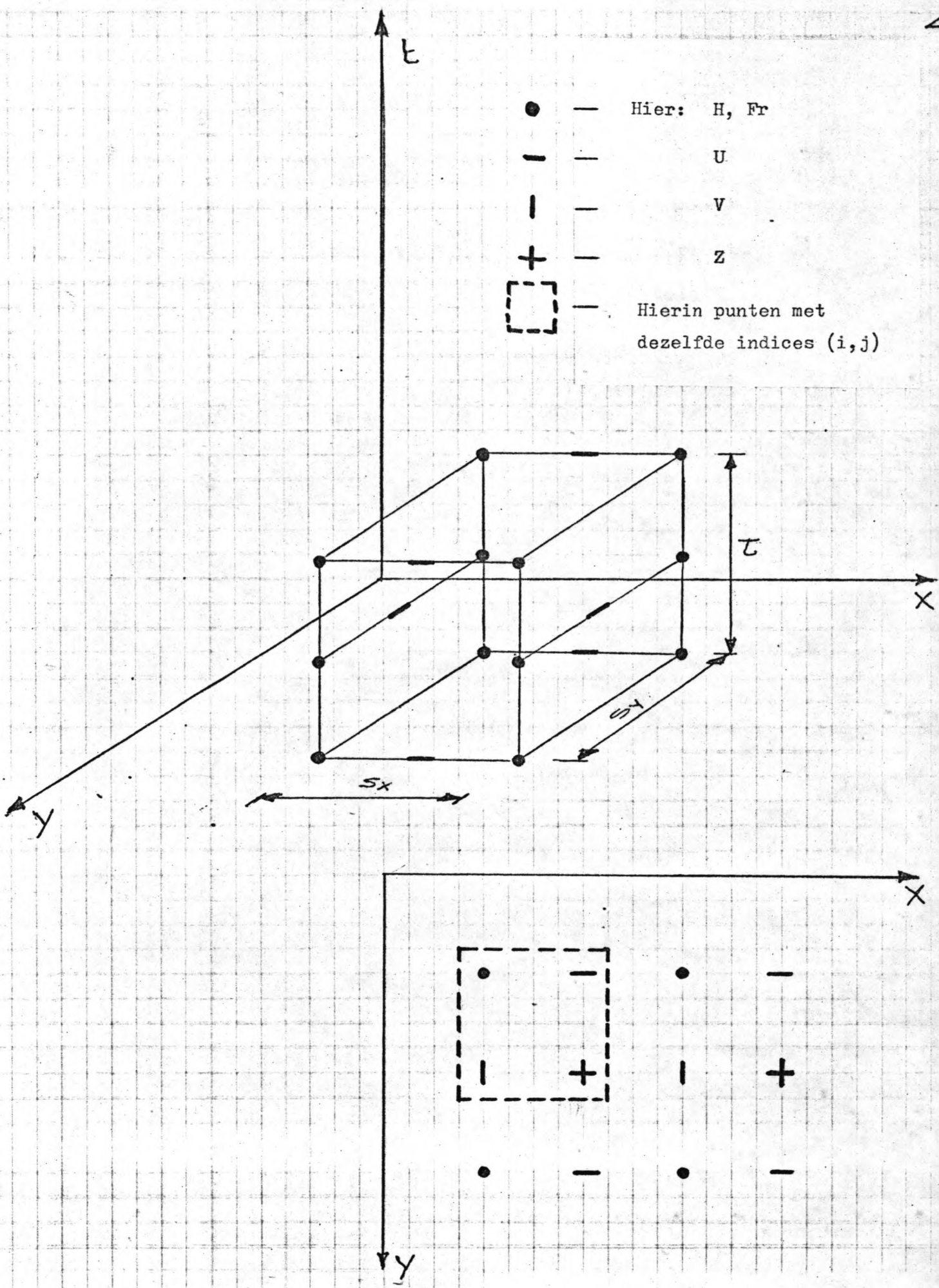


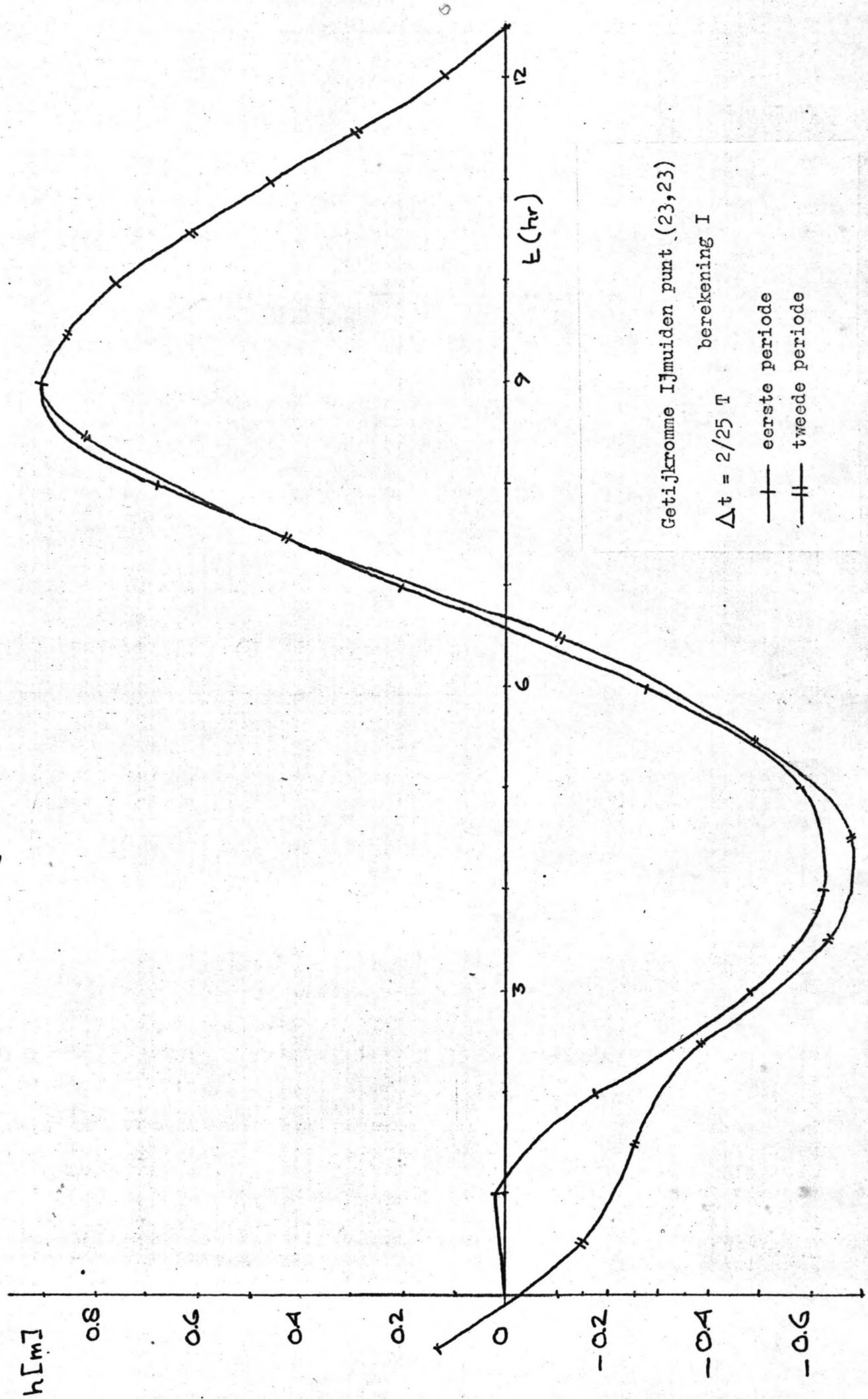
Schaal 1 : 500.000

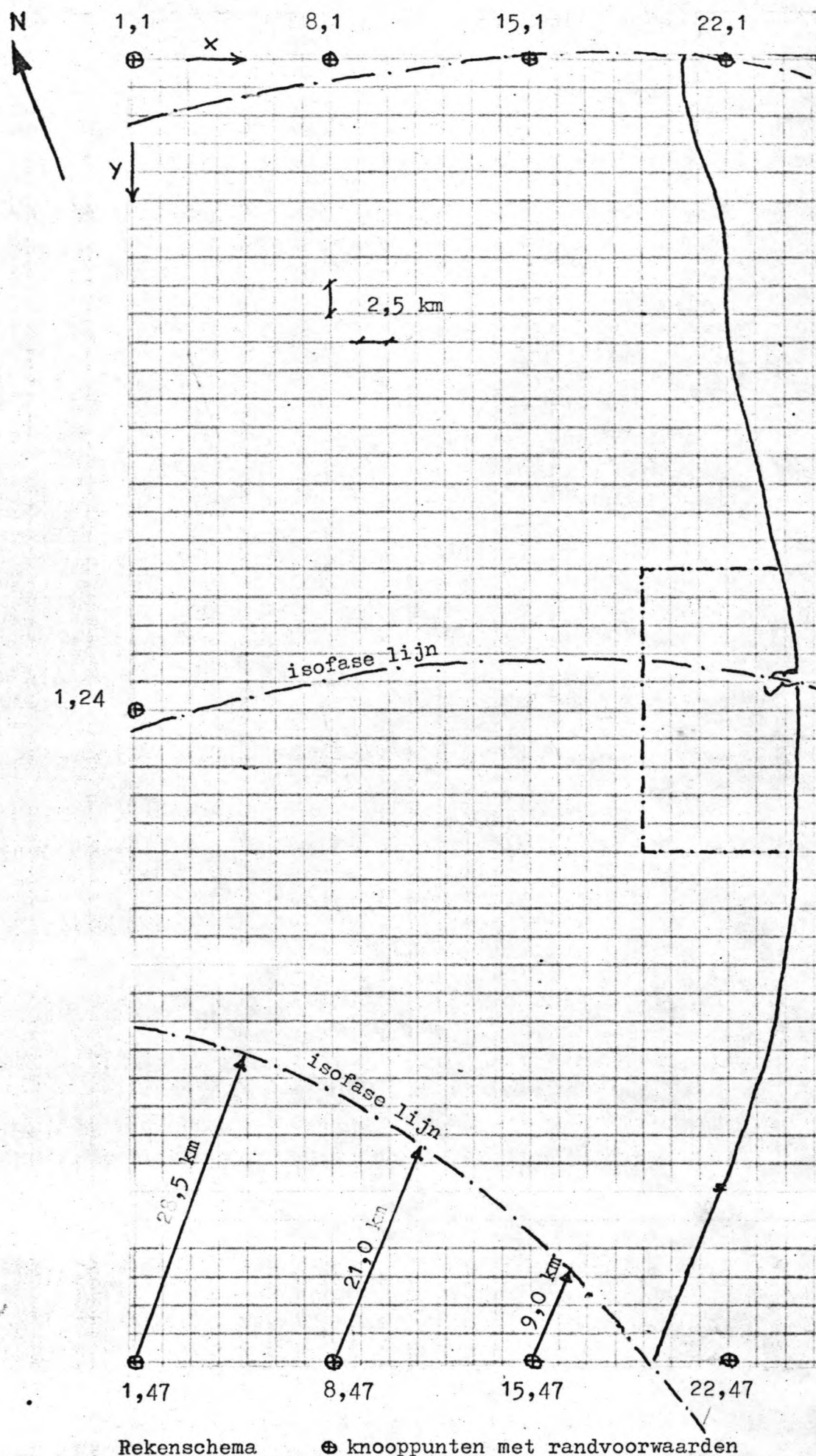




f_r als functie van de diepte

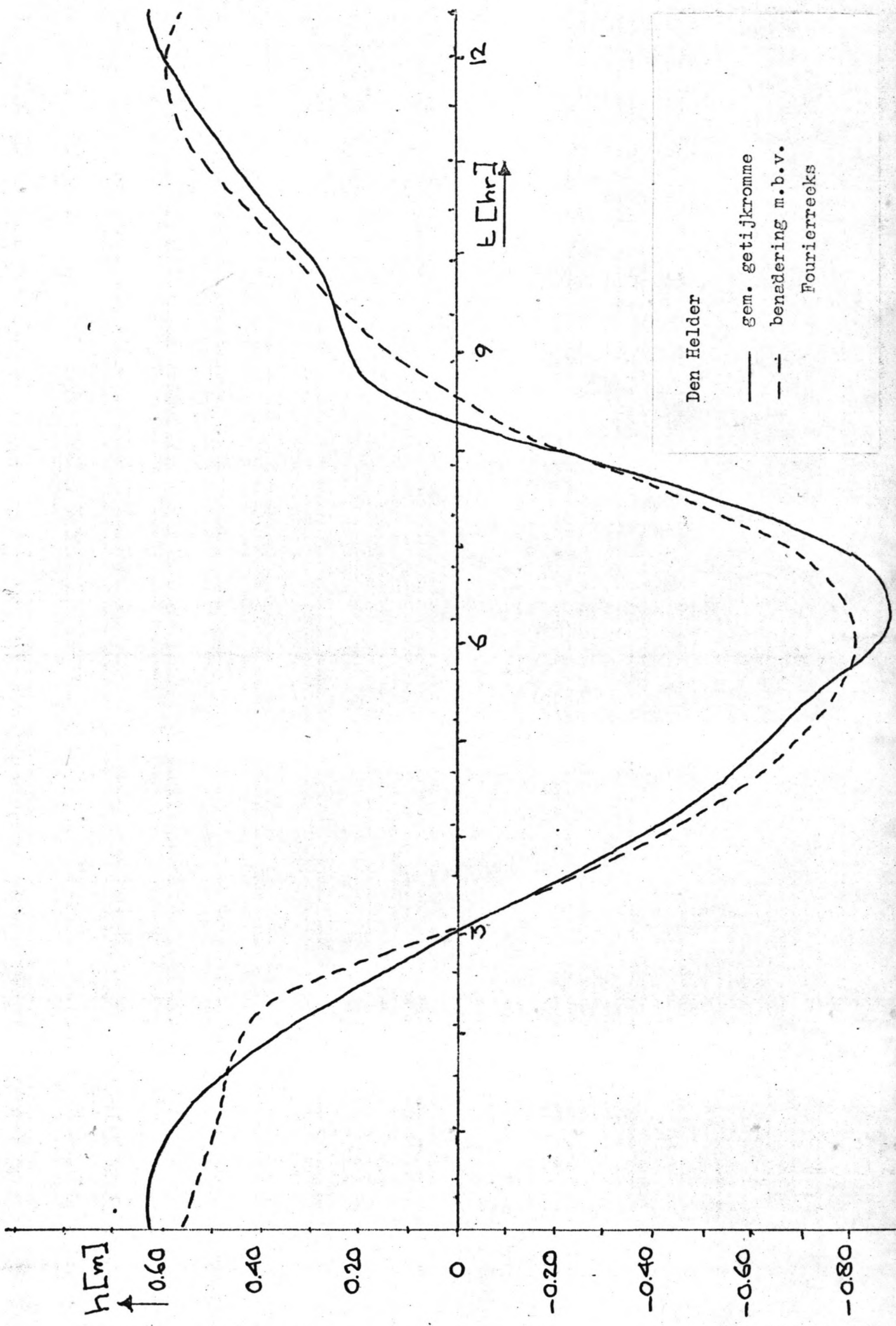


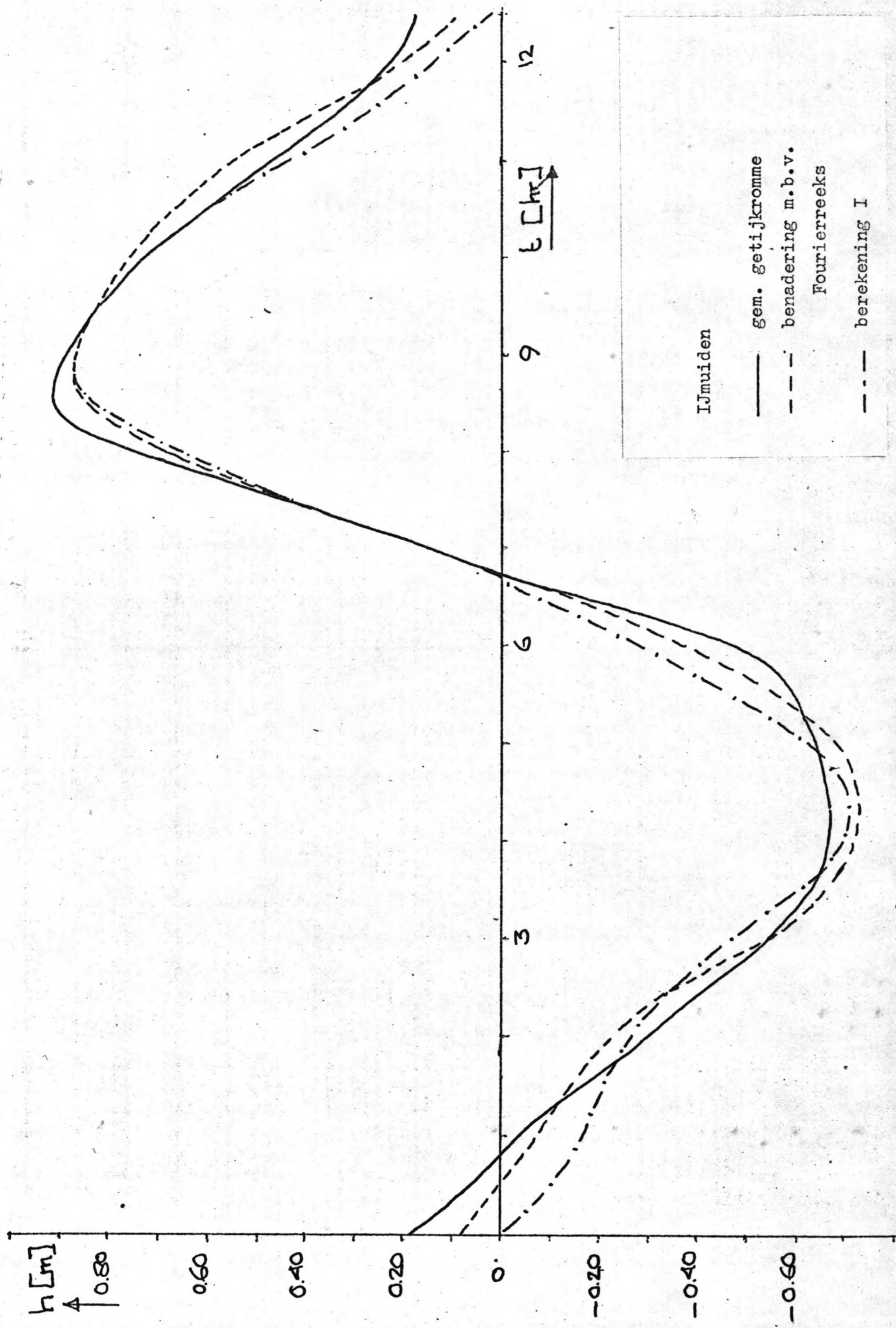


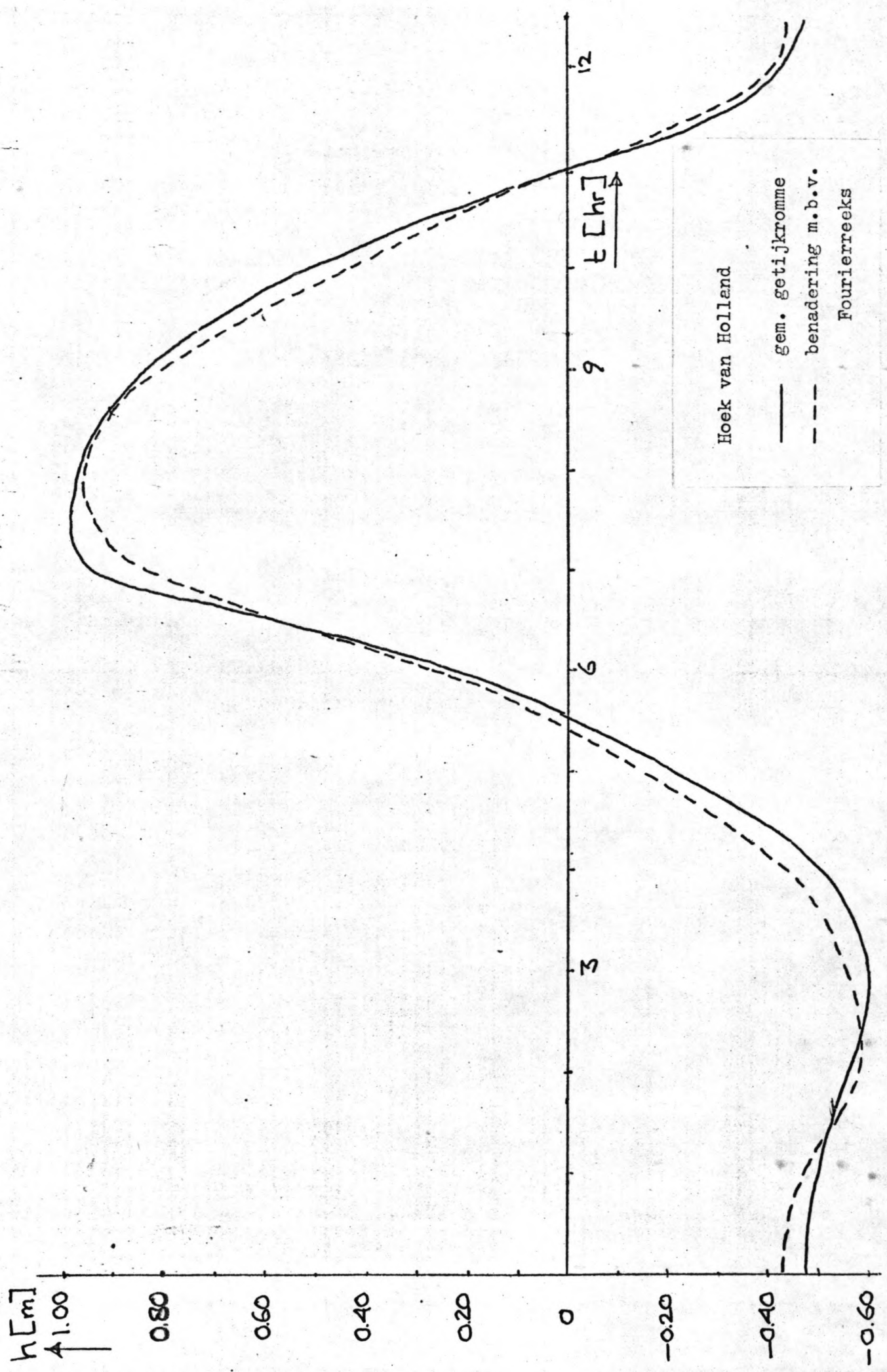


Rekenschema

⊕ knooppunten met randvoorwaarden







Getijconstanten

Bepaling van de grootte van de getijconstanten uit de verhouding
 van de amplitudes (\bar{h}/\bar{h}_k)

\bar{h} amplitude in het knooppunt

\bar{h}_k amplitude aan de kust

Den Helder

Punt	\bar{h}/\bar{h}_k	a_0	b_1	a_1	b_2	a_2	b_4	a_4	b_6	a_6	b_8	a_8
kust	1	0,5	-11,2	69,5	6,6	-12,0	-4,6	-1,2	0,3	0,6	0,3	-0,4
1,1	0,73	0,5	-8,2	50,7	4,8	-8,8	-3,4	-0,9	0,2	0,4	0,2	-0,3
8,1	0,83	0,5	-9,3	57,7	5,5	-10,0	-3,8	-1,0	0,2	0,5	0,2	-0,3
15,1	0,93	0,5	-10,4	64,6	6,1	-11,1	-4,2	-1,1	0,3	0,6	0,3	-0,4
22,1	1,02	0,5	-11,4	71,1	6,7	-12,2	-4,7	-1,2	0,3	0,6	0,3	-0,4

IJmuiden

Punt	\bar{h}/\bar{h}_k	a_0	b_1	a_1	b_2	a_2	b_4	a_4	b_6	a_6	b_8	a_8
kust	1	4,8	-70,6	17,9	15,6	-11,5	-0,3	-2,4	1,6	0,7	1,6	-0,7
1,24	0,60	4,8	-42,4	10,7	9,4	-6,9	-0,2	-1,4	1,0	0,4	1,0	-0,4

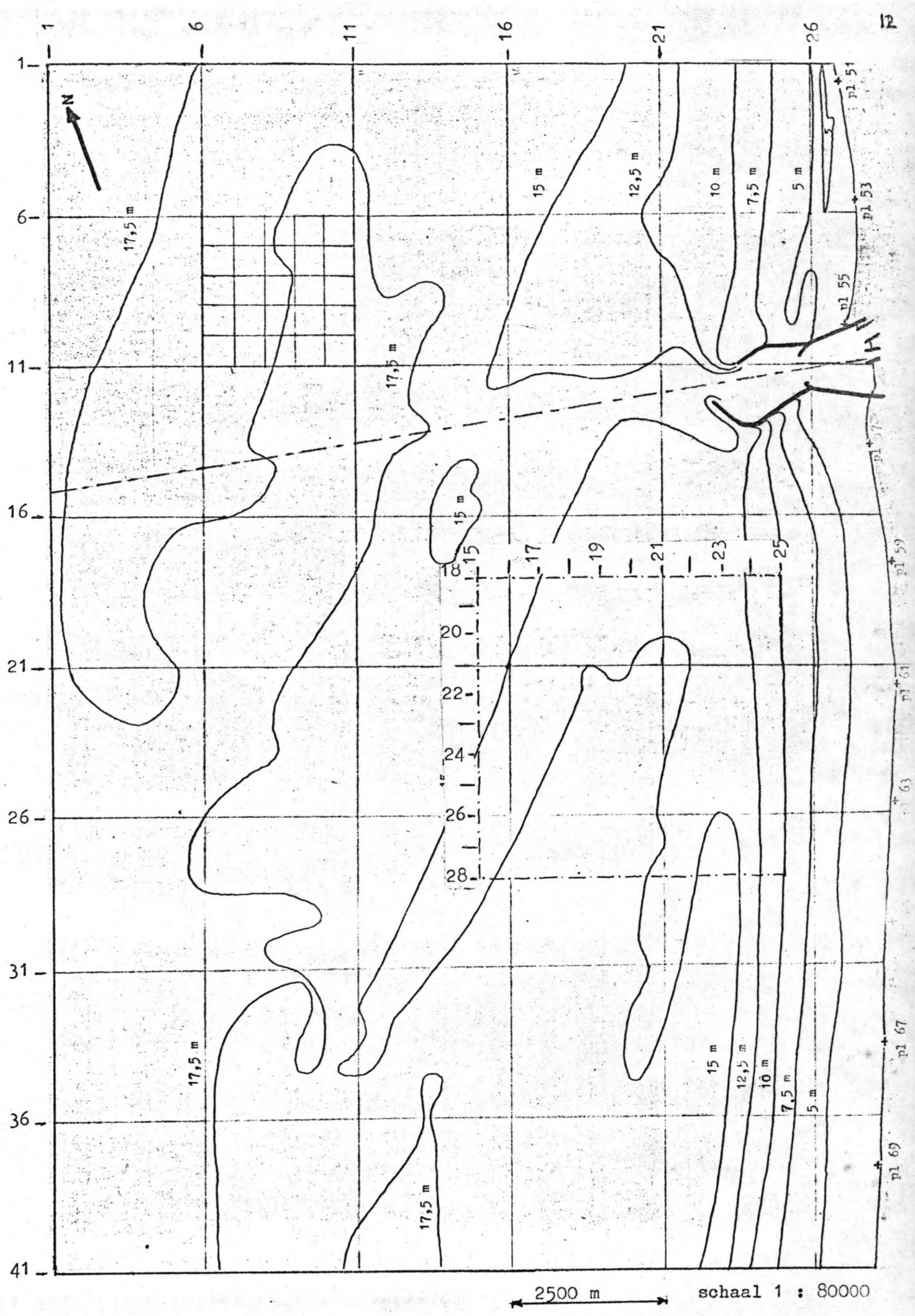
Hoek van Holland (isofase lijn)

Punt	\bar{h}/\bar{h}_k	a_0	b_1	a_1	b_2	a_2	b_4	a_4	b_6	a_6	b_8	a_8
kust	1	3,7	-64,4	-45,0	18,5	-3,1	4,1	-0,3	1,3	-1,2	0,7	0,9
1,47	0,71	3,7	-45,7	-31,9	13,1	-2,2	2,9	-0,2	0,9	-0,8	0,5	0,6
8,47	0,81	3,7	-52,1	-36,4	15,0	-2,5	3,3	-0,2	1,1	-1,0	0,6	0,7
15,47	0,91	3,7	-58,5	-40,9	16,8	-2,8	3,7	-0,3	1,2	-1,1	0,6	0,8
22,47	1,02	3,7	-65,6	-45,9	18,9	-3,2	4,2	-0,3	1,3	-1,2	0,7	0,9

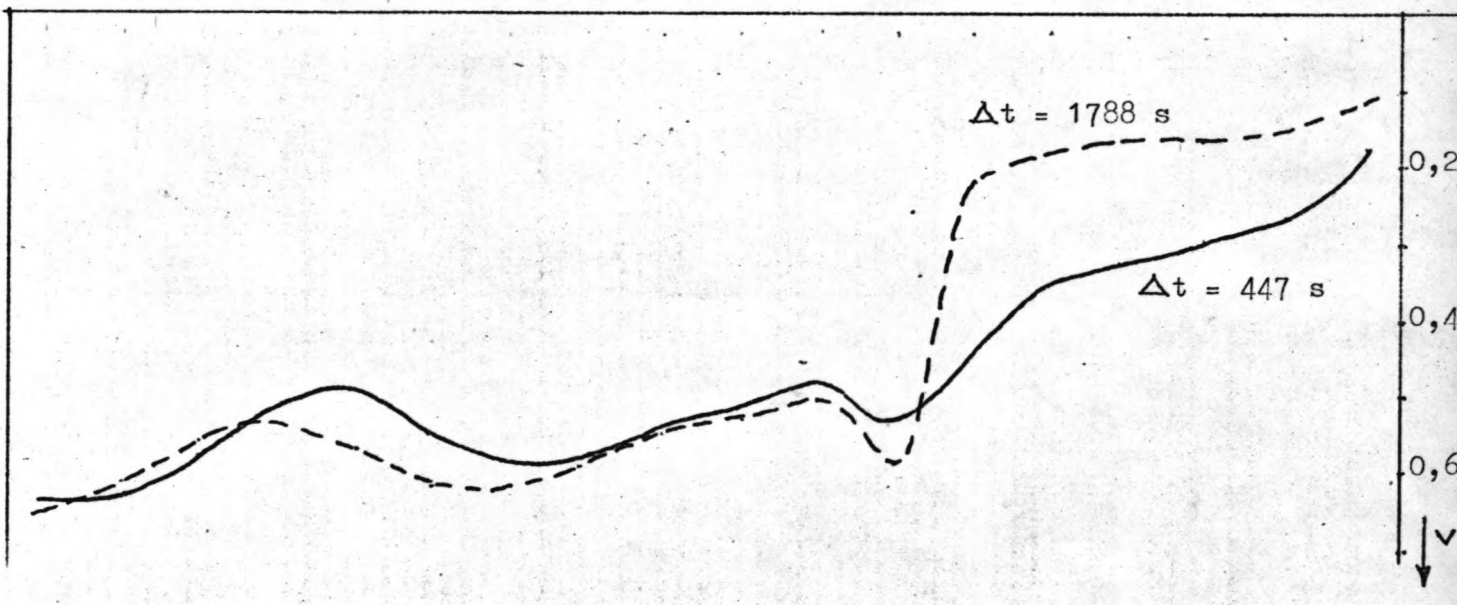
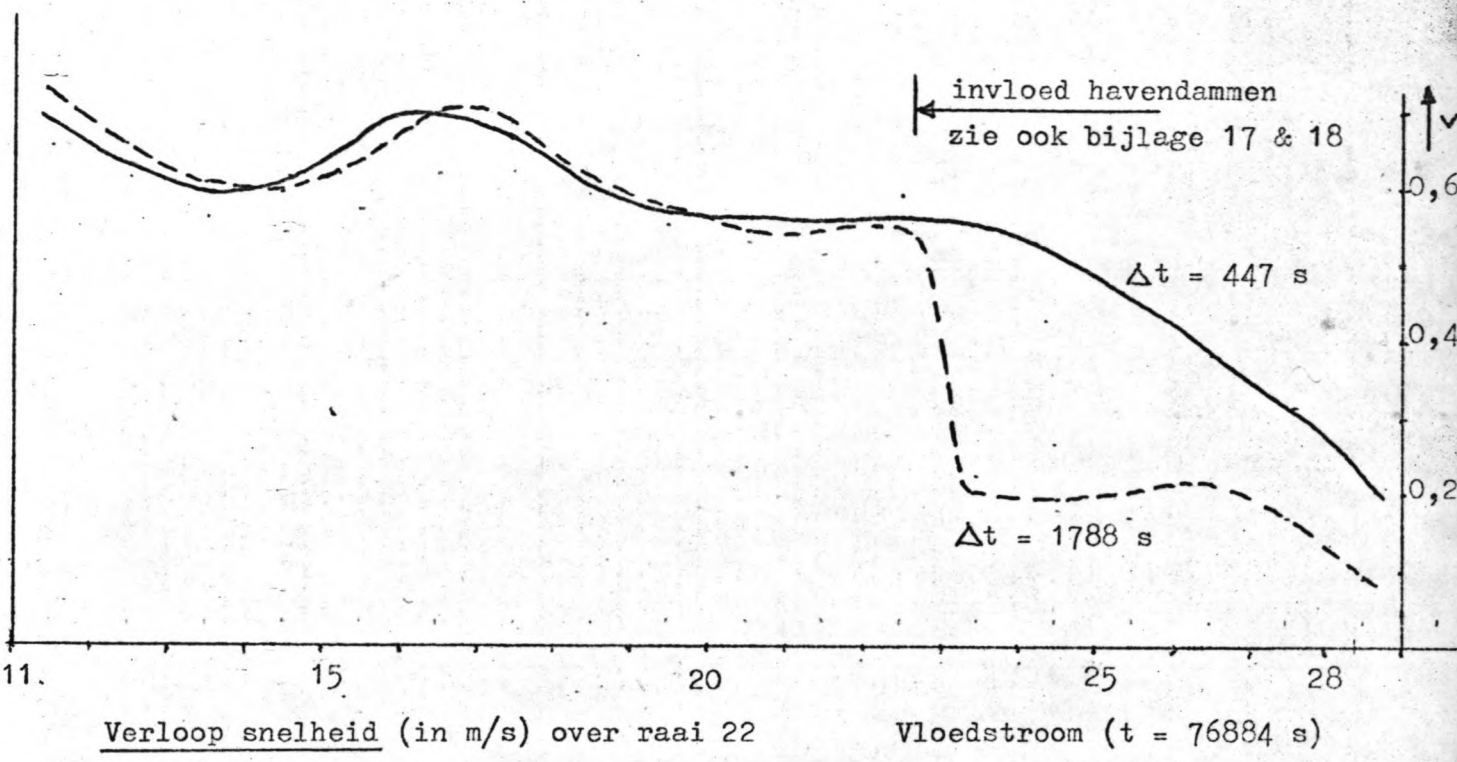
Hoek van Holland (langs rand rekenschema)

Punt	ϕ	a_0	b_1	a_1	b_2	a_2	b_4	a_4	b_6	a_6	b_8	a_8
1,47	13° 35'	3,7	-36,8	-41,7	12,7	1,3	2,8	0,5	1,1	-0,6	0,4	0,7
8,47	10° 5'	3,7	-45,1	-44,7	15,1	0	3,2	0,3	1,3	-0,8	0,5	0,8
15,47	4° 20'	3,7	-55,2	-45,1	16,9	-1,6	3,7	0	1,3	-1,0	0,6	0,8
22,47	-2° 45'	3,7	-67,7	-42,7	18,7	-4,1	4,2	-0,5	1,2	-1,3	0,7	0,9

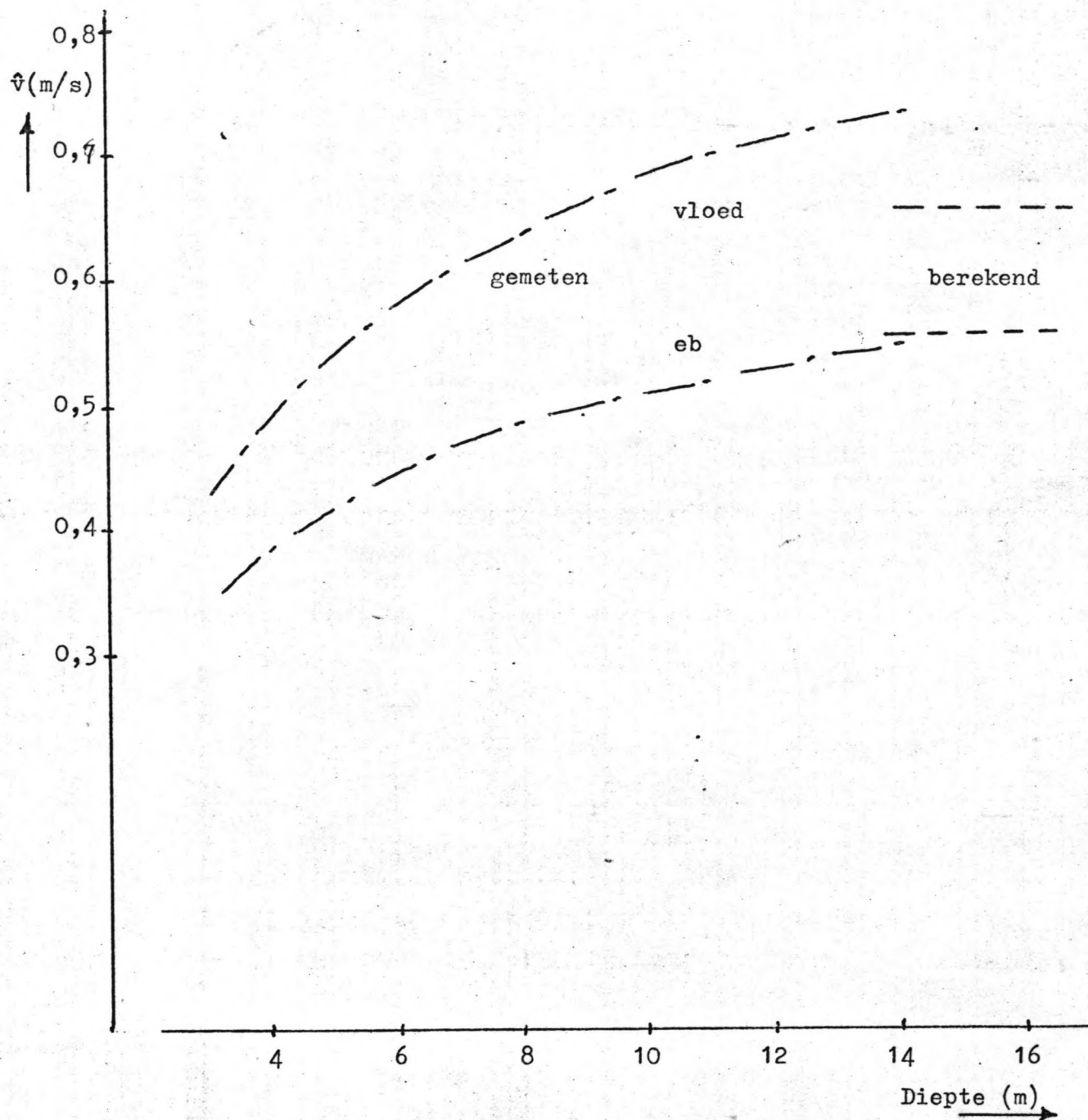
$\phi = 2 \pi \frac{1}{L}$ waarin: 1 afstand van isofaselin tot de rand
 van het rekenschema
 L golflengte van het getij (± 750 km)



Rekenschema

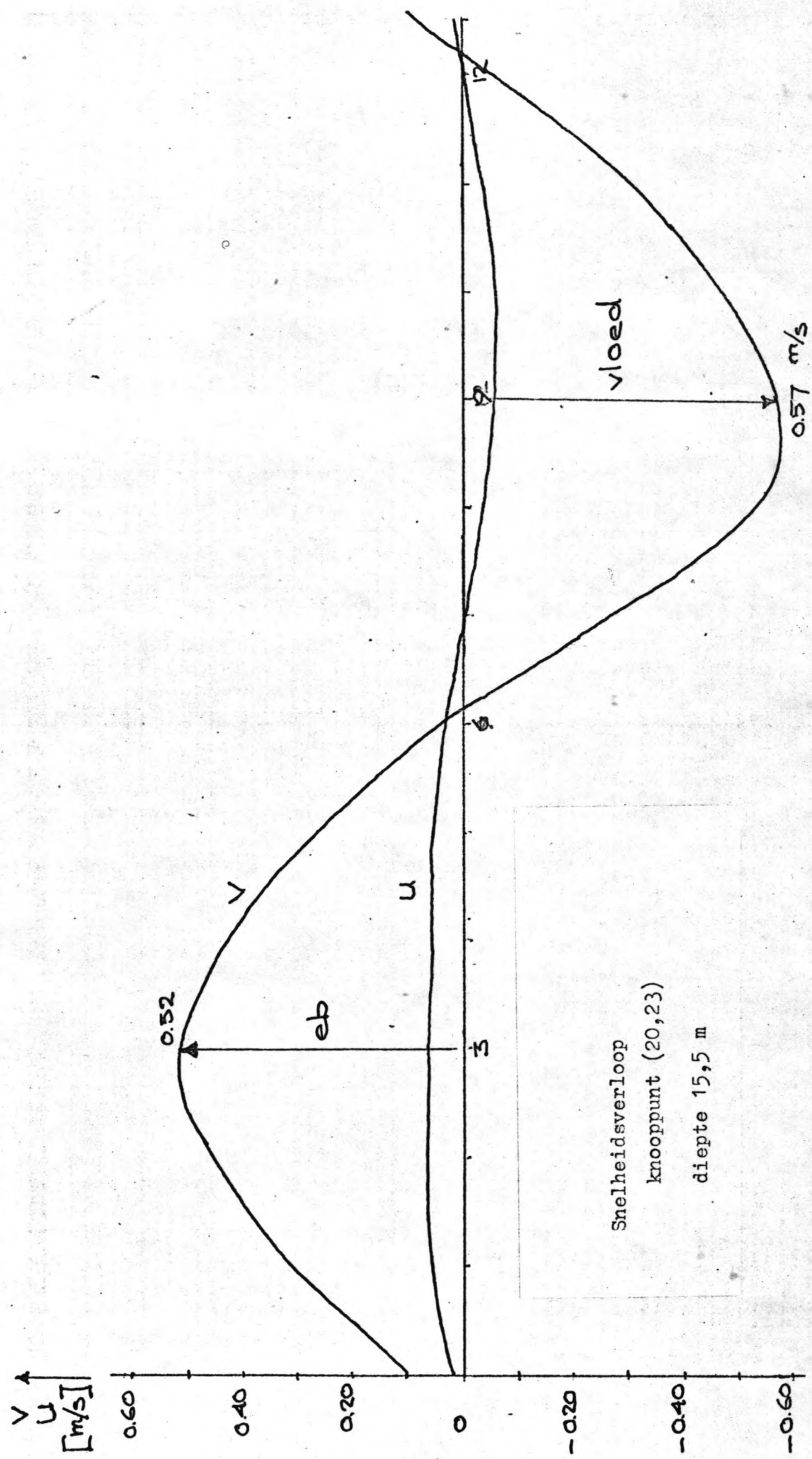


Variatie in tijdstapgrootte, $n\Delta t = 1788 \text{ s}$ en $447 (= 1788/4) \text{ s}$

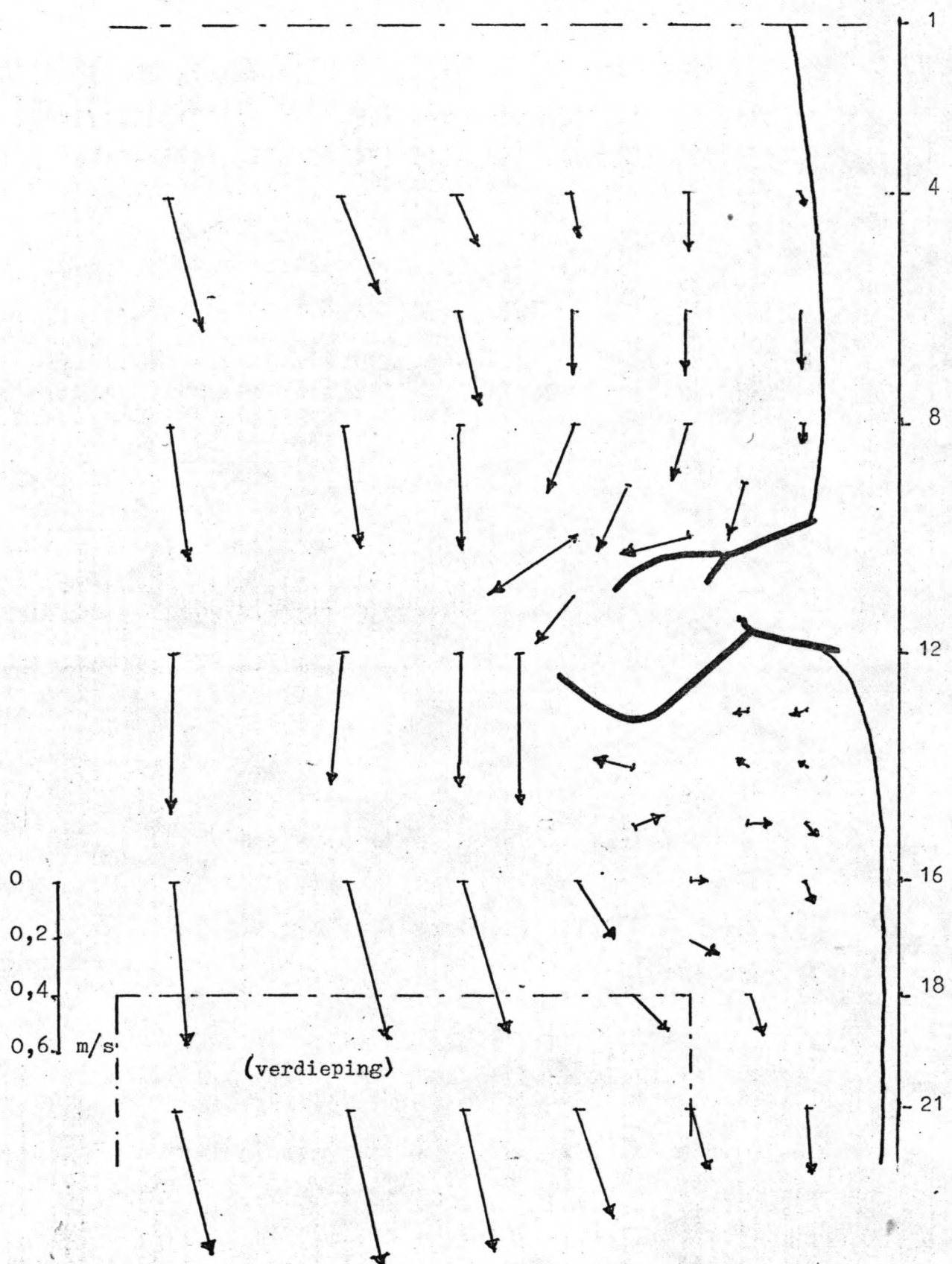


Maximale stroomsnelheid (\hat{v}) als functie van de diepte

(Metingen voor de kust van Scheveningen vergeleken met resultaten
van berekening II)



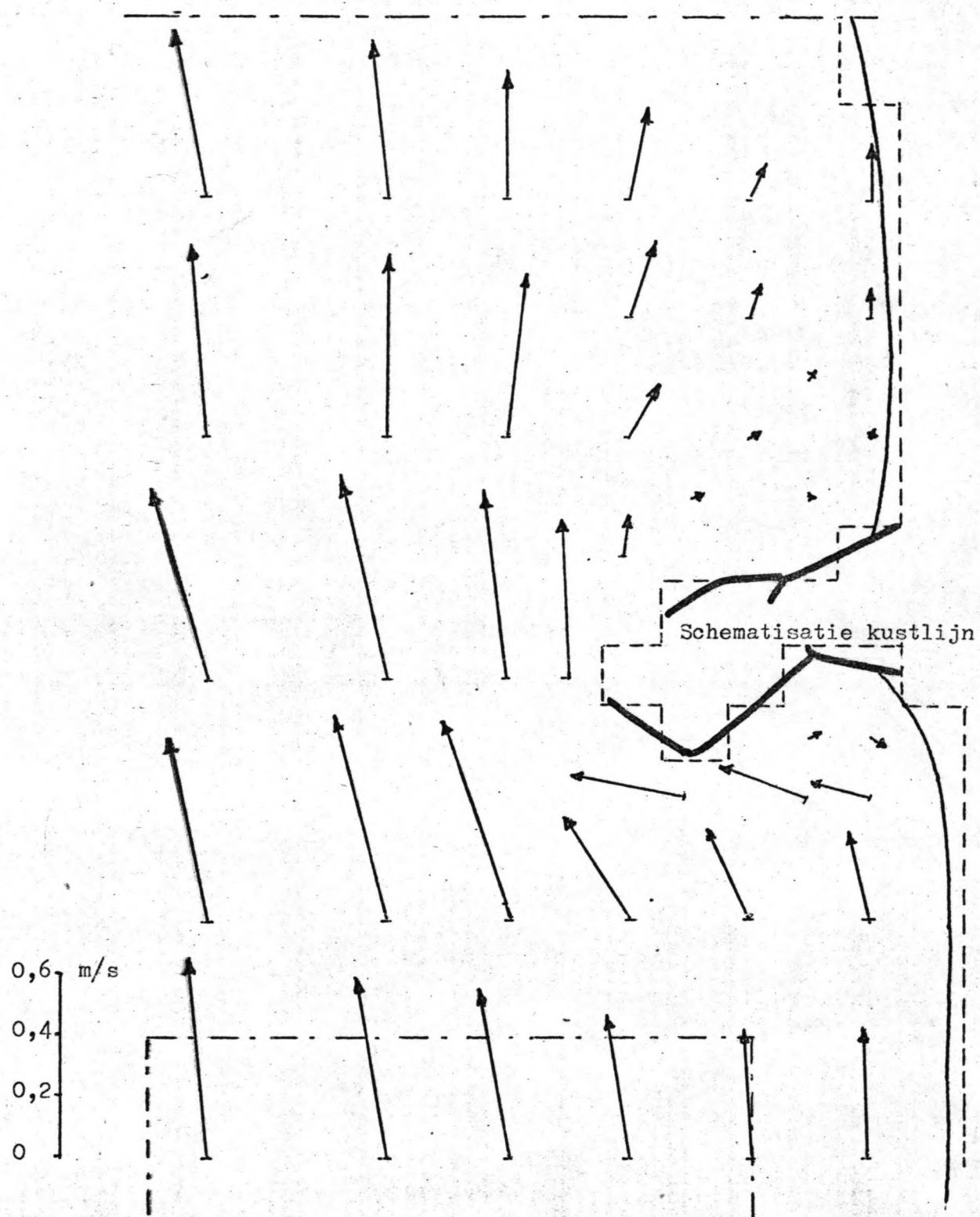
16 21 26



IJmuiden

Ebstroom ($t = 55428$ s)

Schaal 1 : 50000



IJmuiden

Vloedstroom ($t = 76884 \text{ s}$)

Schaal 1 : 50000

Controle berekening

punt (9.25) $t = 87612 \text{ s}$
berekening II

$$\Delta x = \Delta y = 500 \text{ m}$$

$$h = 0.11 \text{ m}$$

$$z = -16.65 \text{ m}$$

$$D = h - z = 16.76 \text{ m}$$

$$\Delta t = 8 * 447 = 5364 \text{ s}$$

$$u = -0.04 \text{ m/s}$$

$$v = -0.06 \text{ m/s}$$

$$f = 233 \cdot 10^{-5}$$

$$\frac{dz}{dx} = \frac{-16.55 + 16.75}{500} = 4 \cdot 10^{-4} \pm 0.2 \cdot 10^{-4}$$

$$\frac{dz}{dy} = \frac{-16.50 + 16.80}{500} = 6 \cdot 10^{-4} \pm 0.2 \cdot 10^{-4}$$

$$\frac{dh}{dt} = \frac{-0.02 - 0.38}{5364} = 7.47 \cdot 10^{-5} \pm 0.19 \cdot 10^{-5}$$

$$\frac{dh}{dx} = \frac{0.11 - 0.11}{500} = 0 \pm 0.2 \cdot 10^{-4}$$

$$\frac{dh}{dy} = \frac{0.09 - 0.12}{500} = -7.5 \cdot 10^{-6} \pm 2.5 \cdot 10^{-6}$$

$$\frac{du}{dt} = \frac{-0.02 + 0.07}{5364} = 9.3 \cdot 10^{-6} \pm 1.9 \cdot 10^{-6}$$

$$\frac{du}{dx} = \frac{-0.04 + 0.04}{500} = 0 \pm 0.2 \cdot 10^{-4}$$

$$\frac{du}{dy} = \frac{-0.050 + 0.045}{1000} = -0.5 \cdot 10^{-5} \pm 0.1 \cdot 10^{-4}$$

$$\frac{dv}{dt} = \frac{0.085 + 0.360}{5364} = 8.30 \cdot 10^{-5} \pm 3.7 \cdot 10^{-6}$$

$$\frac{dv}{dx} = \frac{-0.045 + 0.100}{1000} = 0.55 \cdot 10^{-4} \pm 0.1 \cdot 10^{-4}$$

$$\frac{dv}{dy} = \frac{-0.06 + 0.06}{500} = 0 \pm 0.2 \cdot 10^{-4}$$

Controle berekening (vervolg)

Continuiteitsvergl.

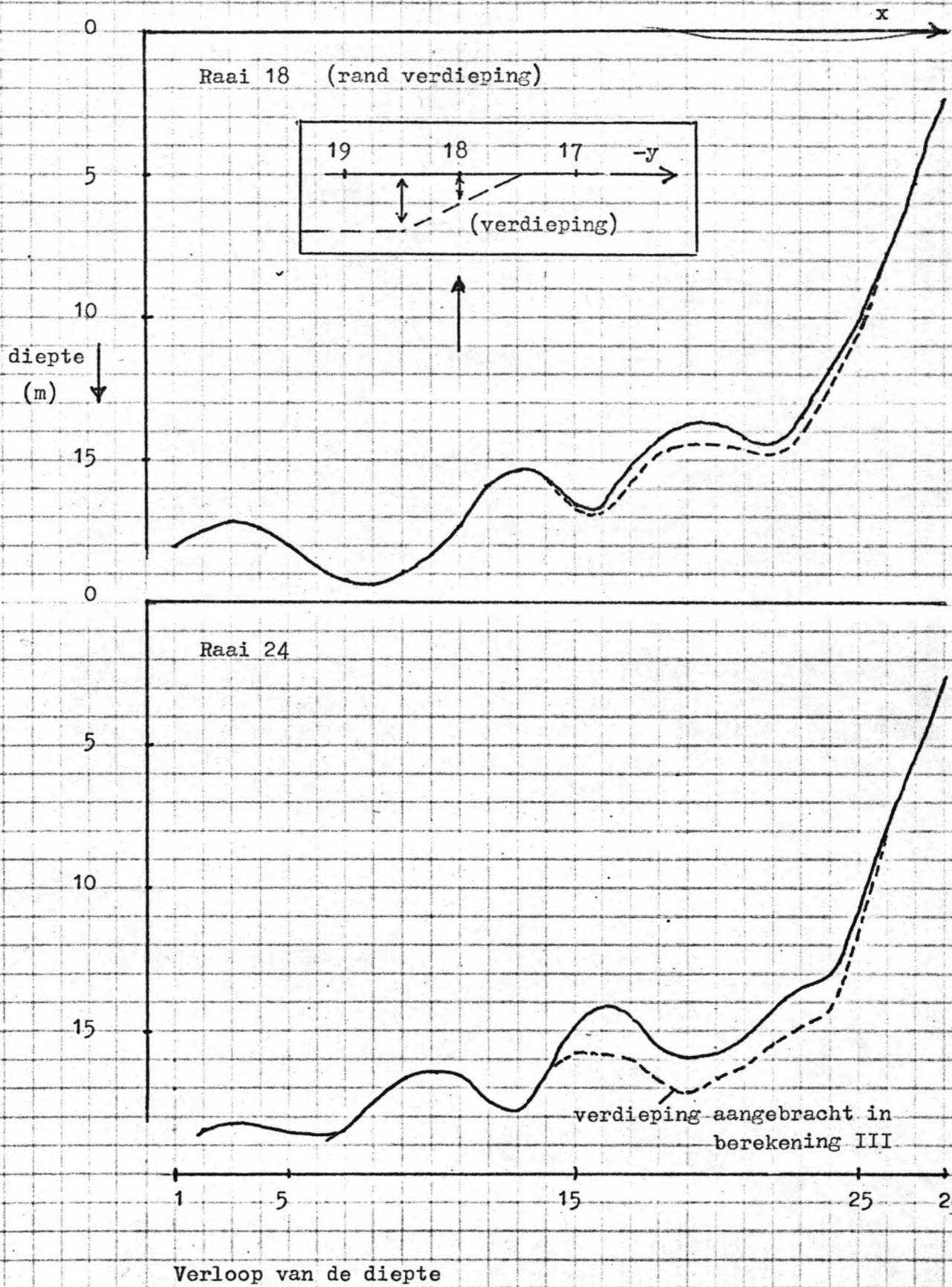
$$\begin{aligned}
 \frac{\partial h}{\partial t} &= -0.747 \cdot 10^{-4} \\
 u \frac{\partial h}{\partial x} &= 0.0 \\
 -u \frac{\partial z}{\partial x} &= 0.16 \cdot 10^{-4} \\
 D \frac{\partial u}{\partial x} &= 0.0 \\
 v \frac{\partial h}{\partial y} &= 0.004 \cdot 10^{-4} \\
 -v \frac{\partial z}{\partial y} &= 0.360 \cdot 10^{-4} \\
 D \frac{\partial v}{\partial y} &= \frac{0.0}{-0.222 \cdot 10^{-4}} \neq 0.0
 \end{aligned}$$

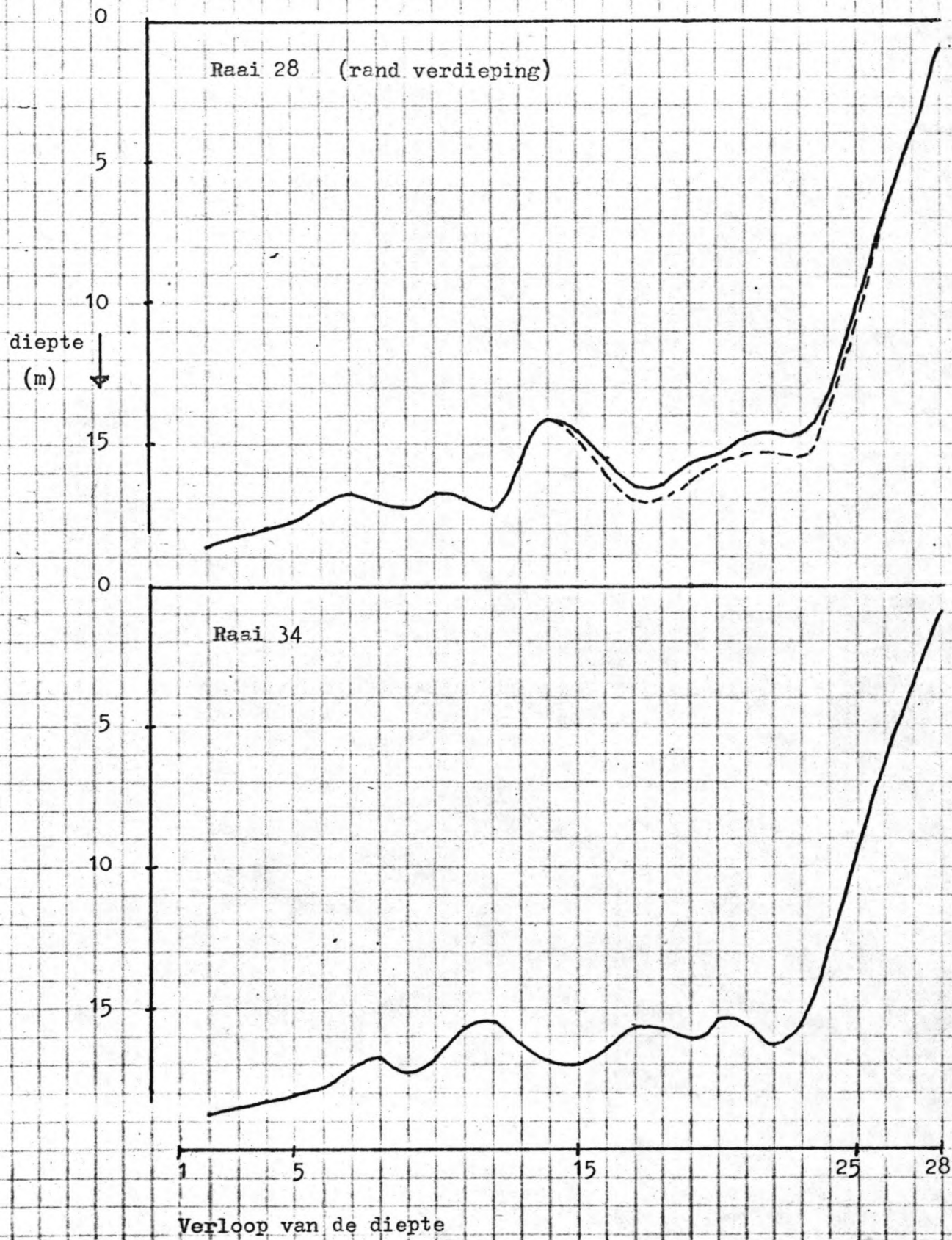
Bewegingsvergl x-richting

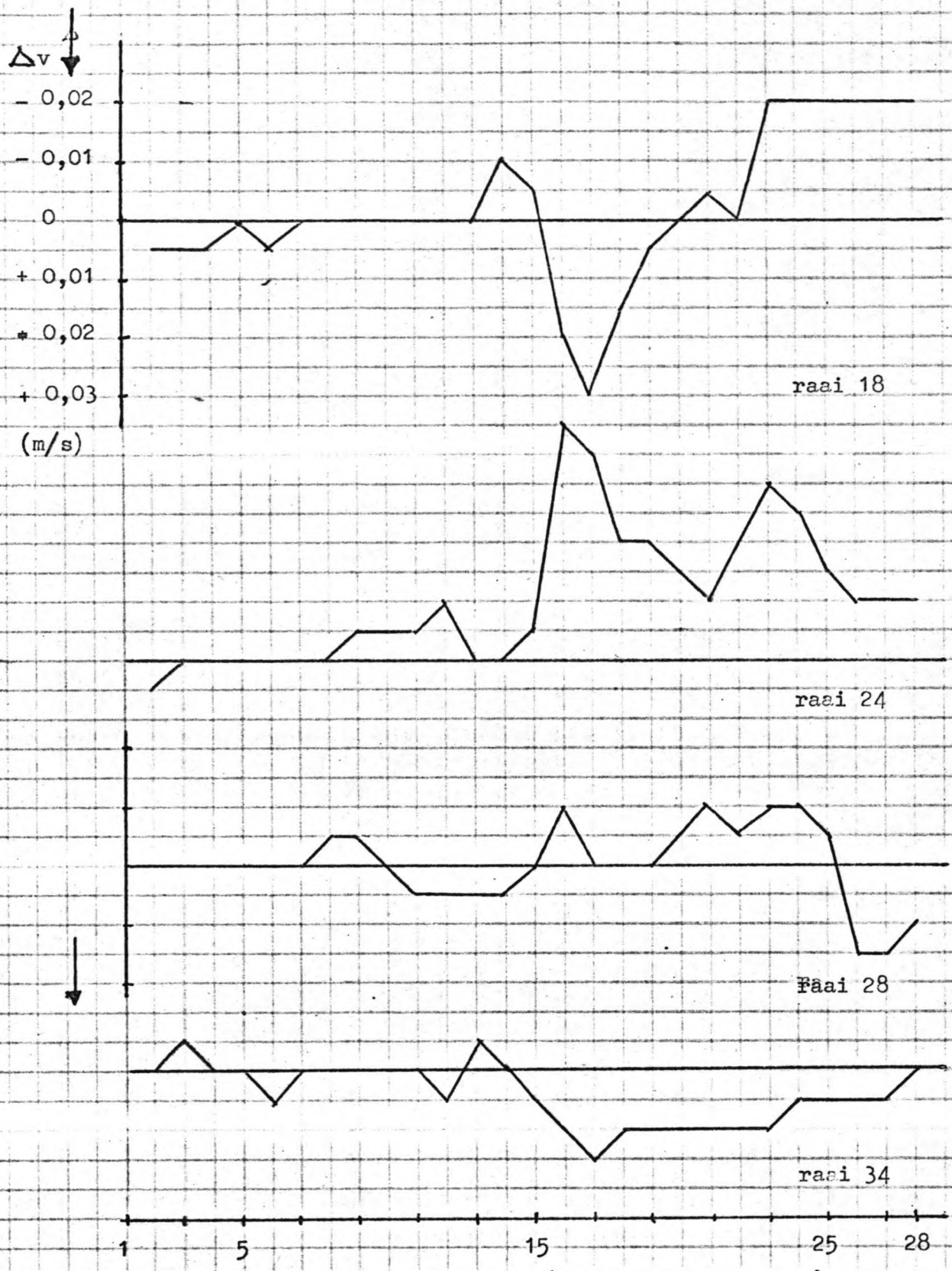
$$\begin{aligned}
 g \frac{\partial h}{\partial x} &= 0.0 \\
 \frac{\partial u}{\partial t} &= 0.093 \cdot 10^{-4} \\
 u \frac{\partial u}{\partial x} &= 0.0 \\
 v \frac{\partial u}{\partial y} &= 0.003 \cdot 10^{-4} \\
 \frac{f}{D} u \sqrt{u^2 + v^2} &= -0.001 \cdot 10^{-4} \\
 -uv &= \frac{-0.069 \cdot 10^{-4}}{0.026 \cdot 10^{-4}}
 \end{aligned}$$

Bewegingsvergl y-richting

$$\begin{aligned}
 g \frac{\partial h}{\partial y} &= -0.735 \cdot 10^{-4} \\
 \frac{\partial v}{\partial t} &= 0.83 \cdot 10^{-4} \\
 u \frac{\partial v}{\partial x} &= -0.022 \cdot 10^{-4} \\
 v \frac{\partial v}{\partial y} &= 0.0 \\
 \frac{f}{D} v \sqrt{u^2 + v^2} &= -0.002 \cdot 10^{-4} \\
 \omega v &= \frac{0.069 \cdot 10^{-4}}{0.140 \cdot 10^{-4}}
 \end{aligned}$$

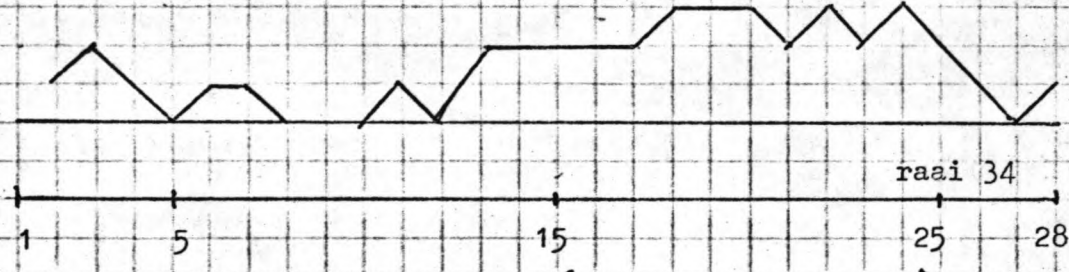
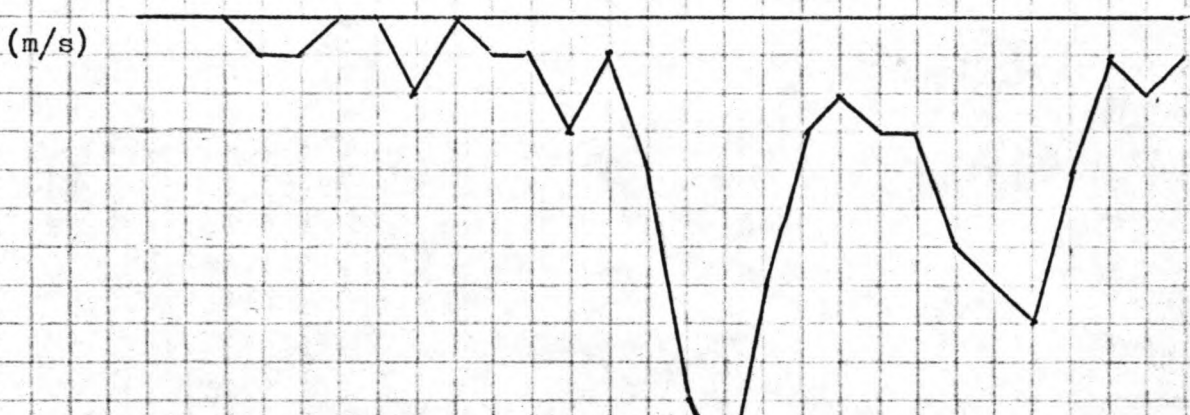
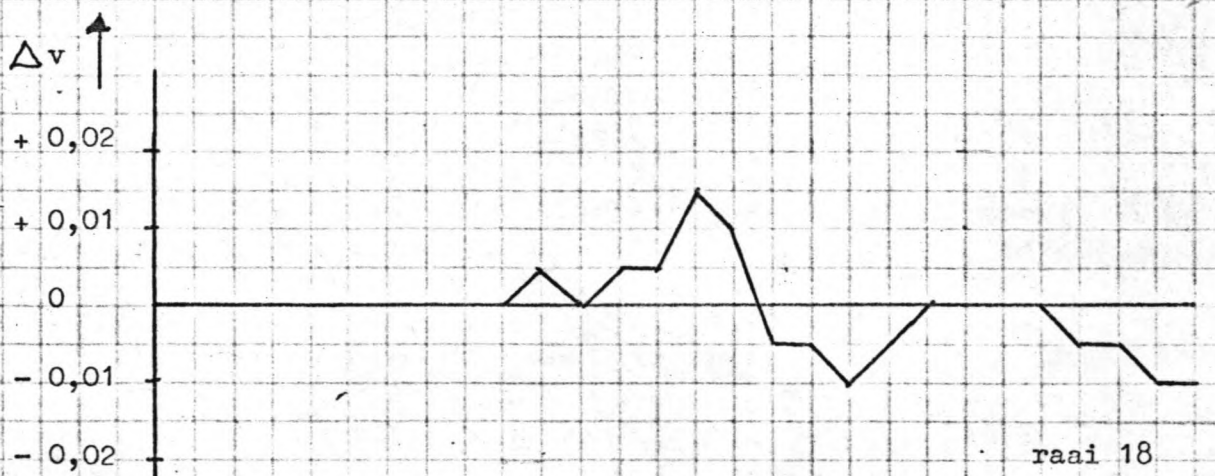






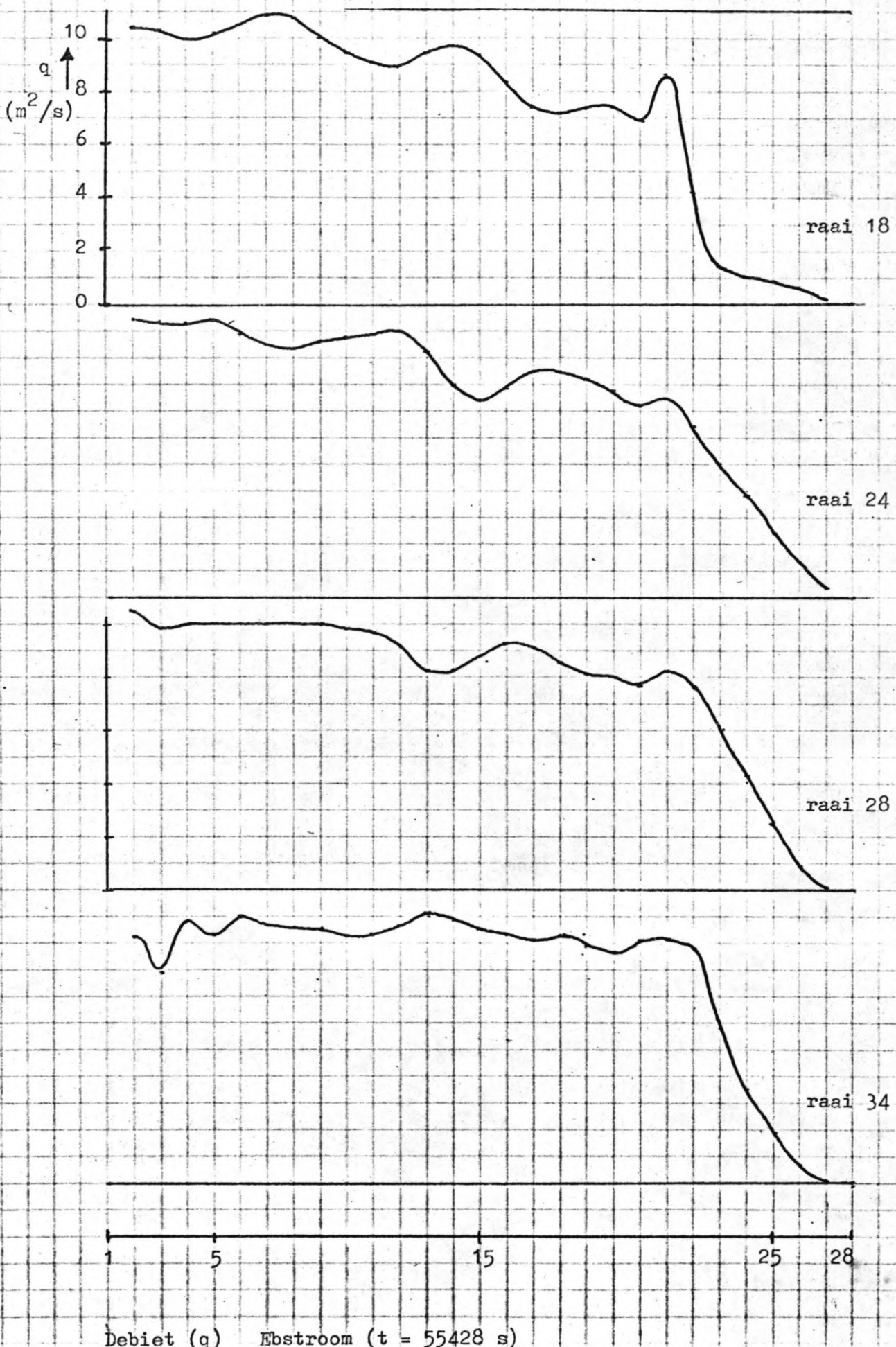
Toename snelheid (Δv) bij verdieping

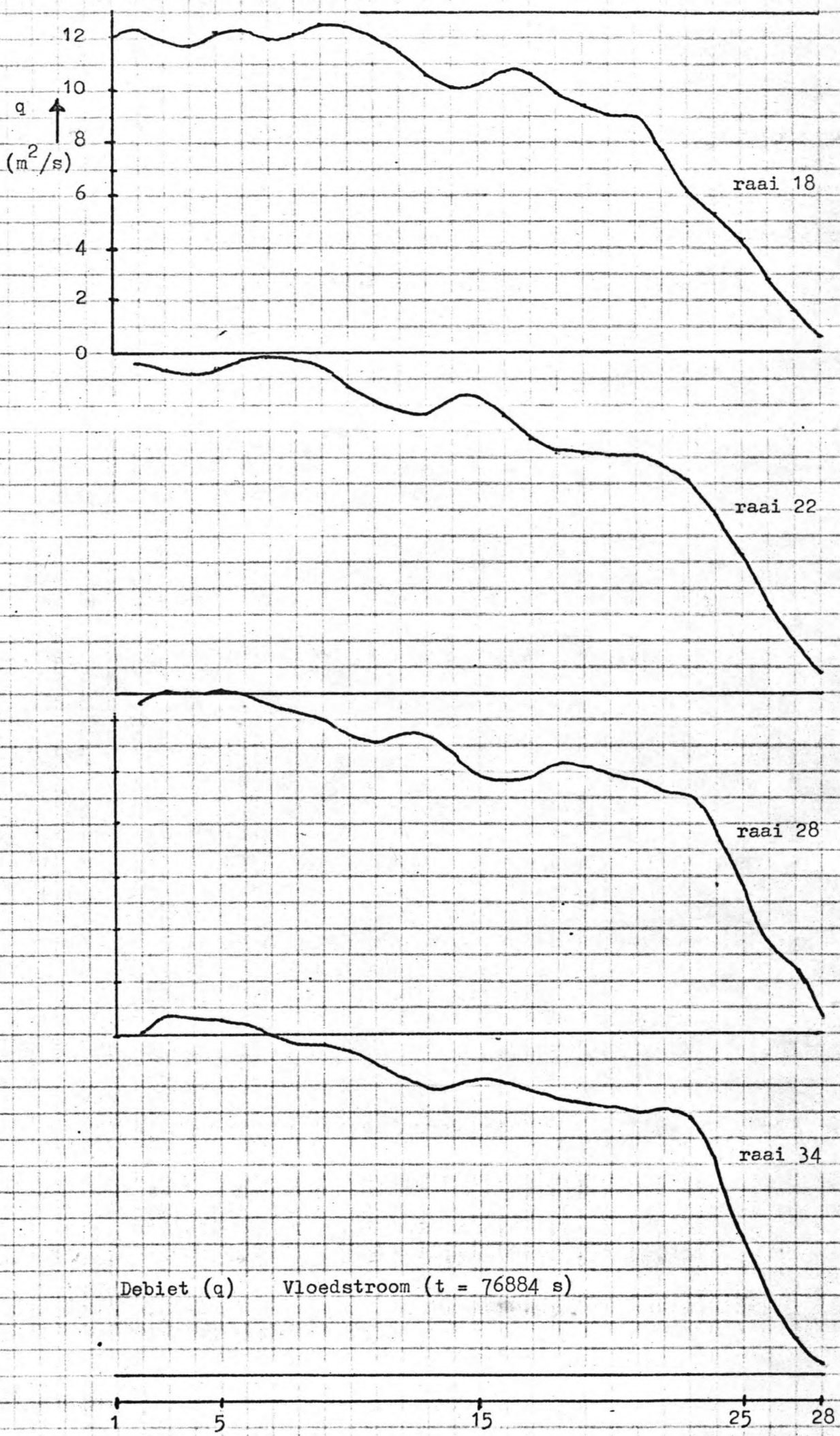
Ebstroom ($t = 55428 \text{ s}$)



Toename snelheid (Δv) bij verdieping

Vloedstroom ($t = 76884$ s)

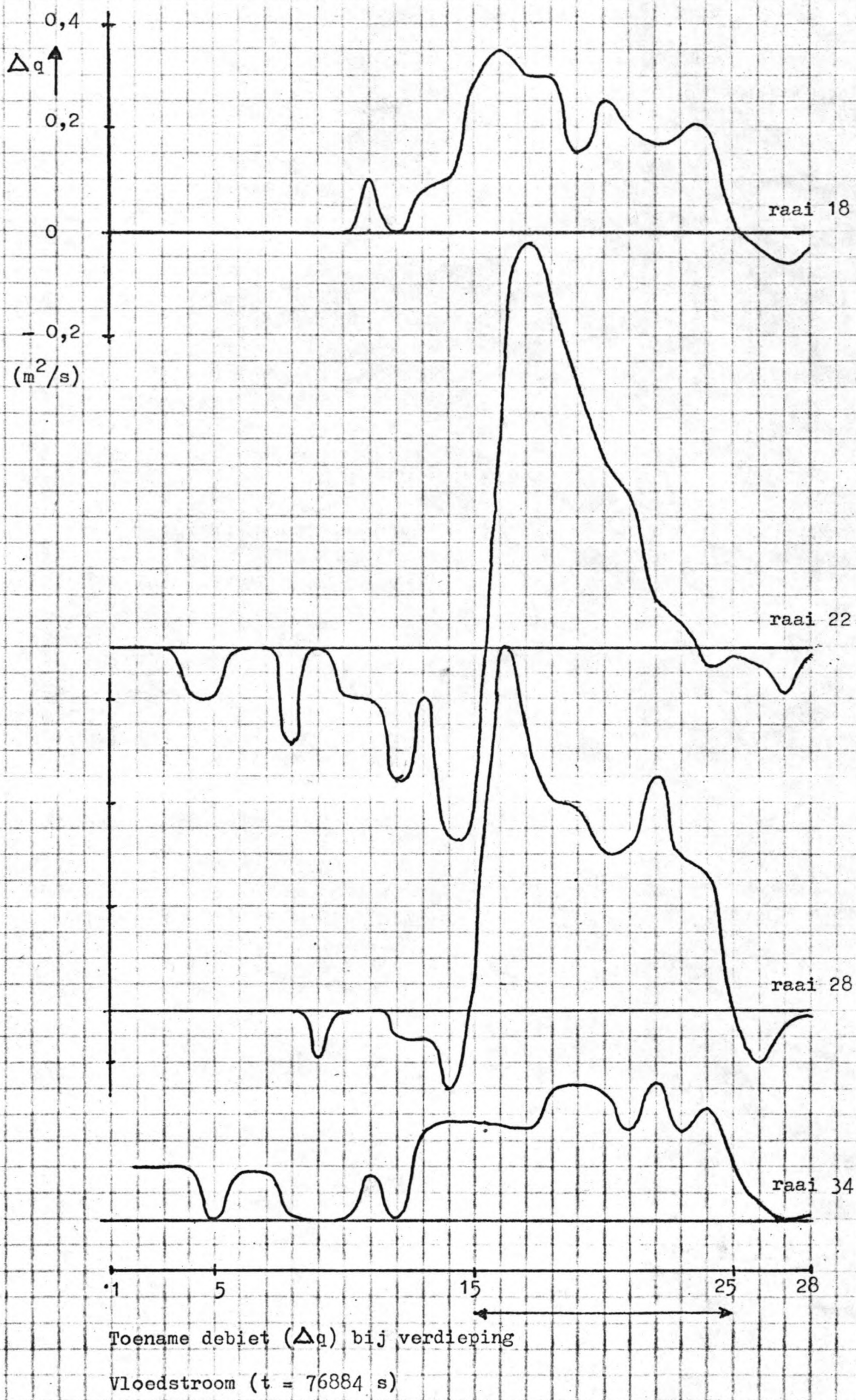


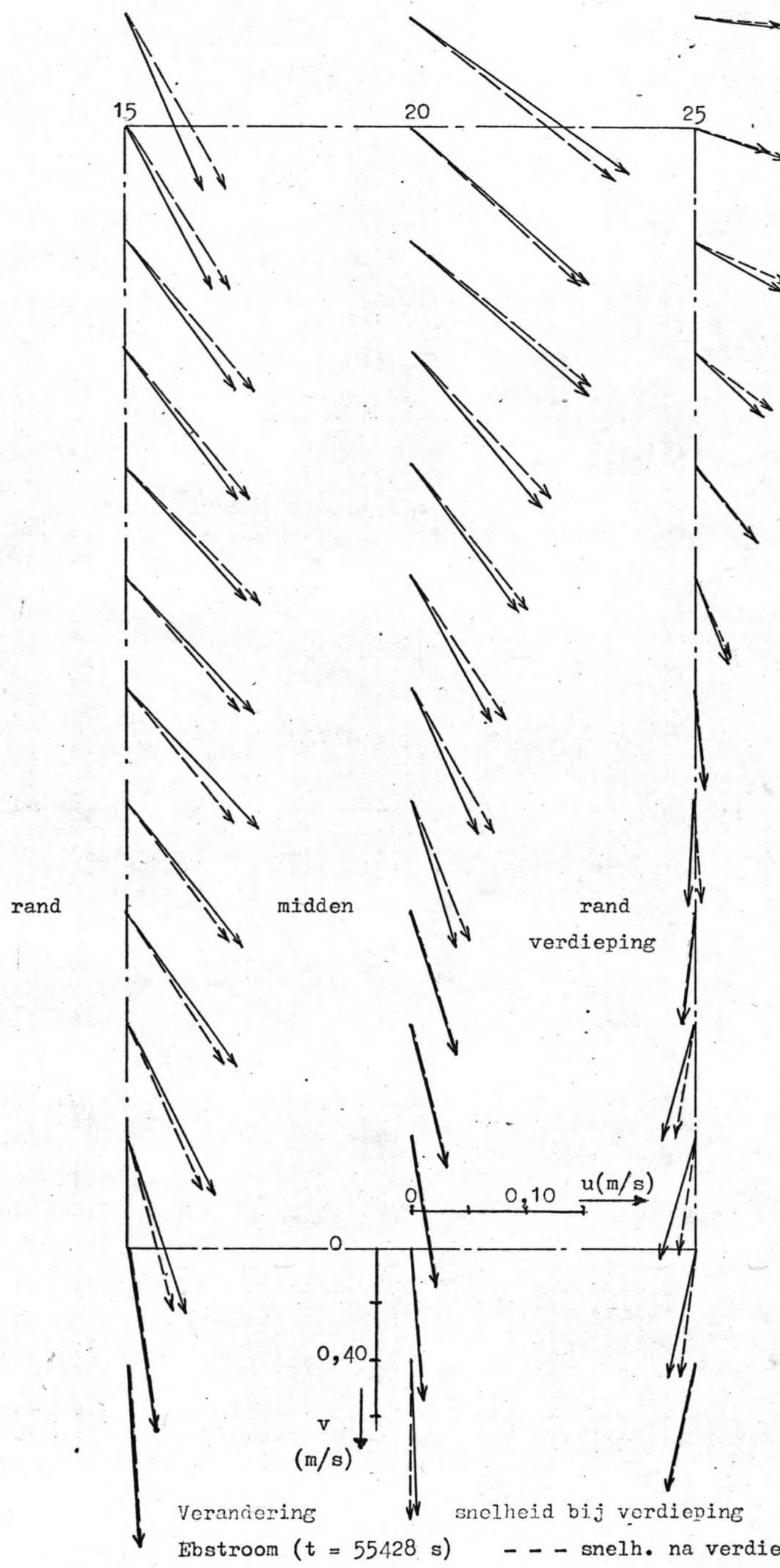


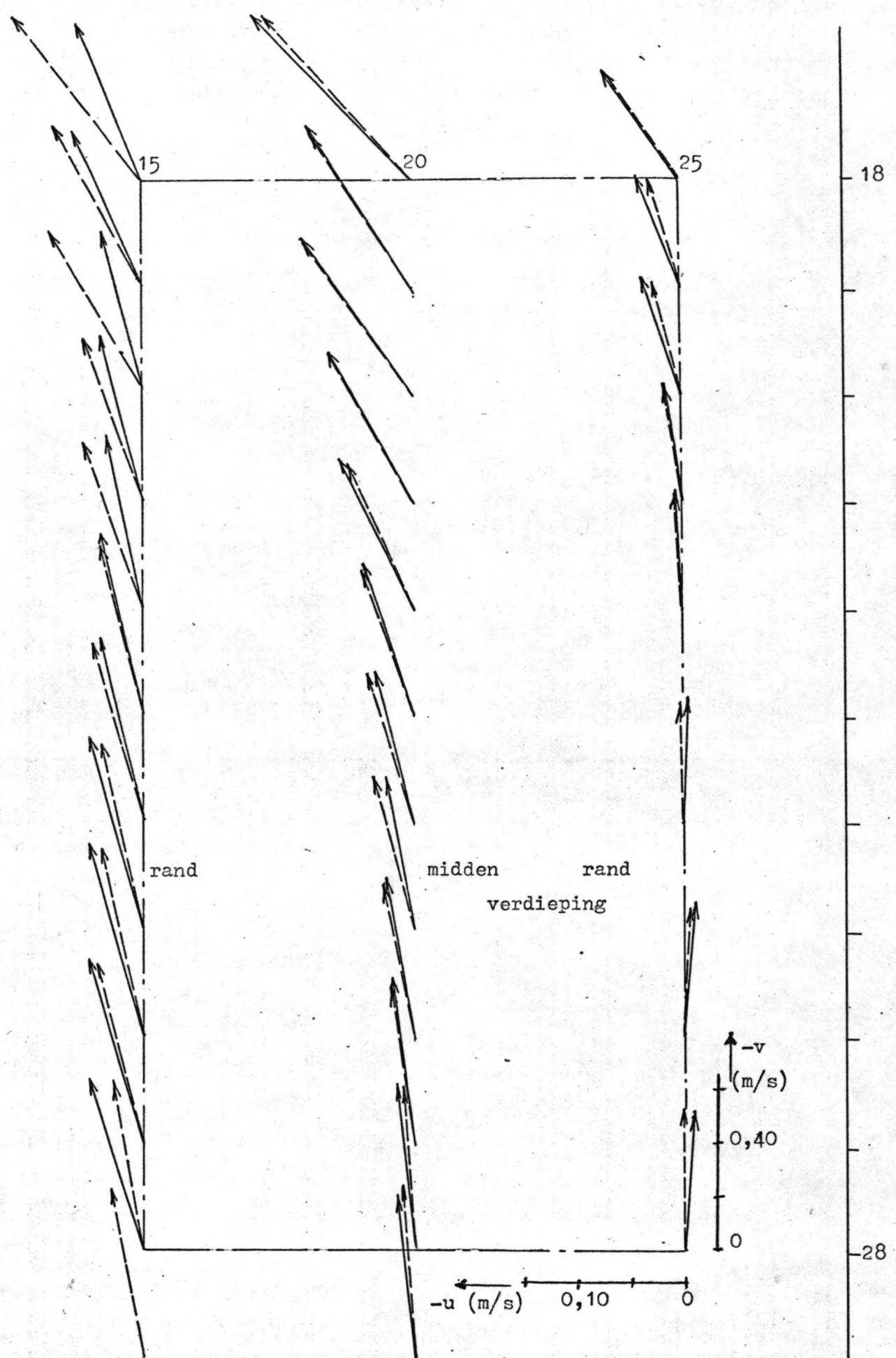


Toename debiet (Δq) bij verdieping

Ebstroom ($t = 55428$ s)







Verandering snelheid bij verdieping

Vloedstroom ($t = 76884$ s)

--- snelh na verdieping